

# TSIA1 : Intelligence artificielle pour l'image

---

Rémi Giraud

[remi.giraud@enseirb-matmeca.fr](mailto:remi.giraud@enseirb-matmeca.fr)

2025-2026

2A Électronique

Slides tirés de ceux de :

- Guillaume Bourmaud (*ENSEIRB-MATEMCA*)
- Michaël Clément (*ENSEIRB-MATEMCA*)
- Aurélie Bugeau (*Univ. Bordeaux*)
- Charles Deledalle (*Brain Corp*)
- Hugo Larochelle (*Google Brain*)
- Andrew Ng (*Stanford*)
- Baptiste Pesquet (*ENSC*)

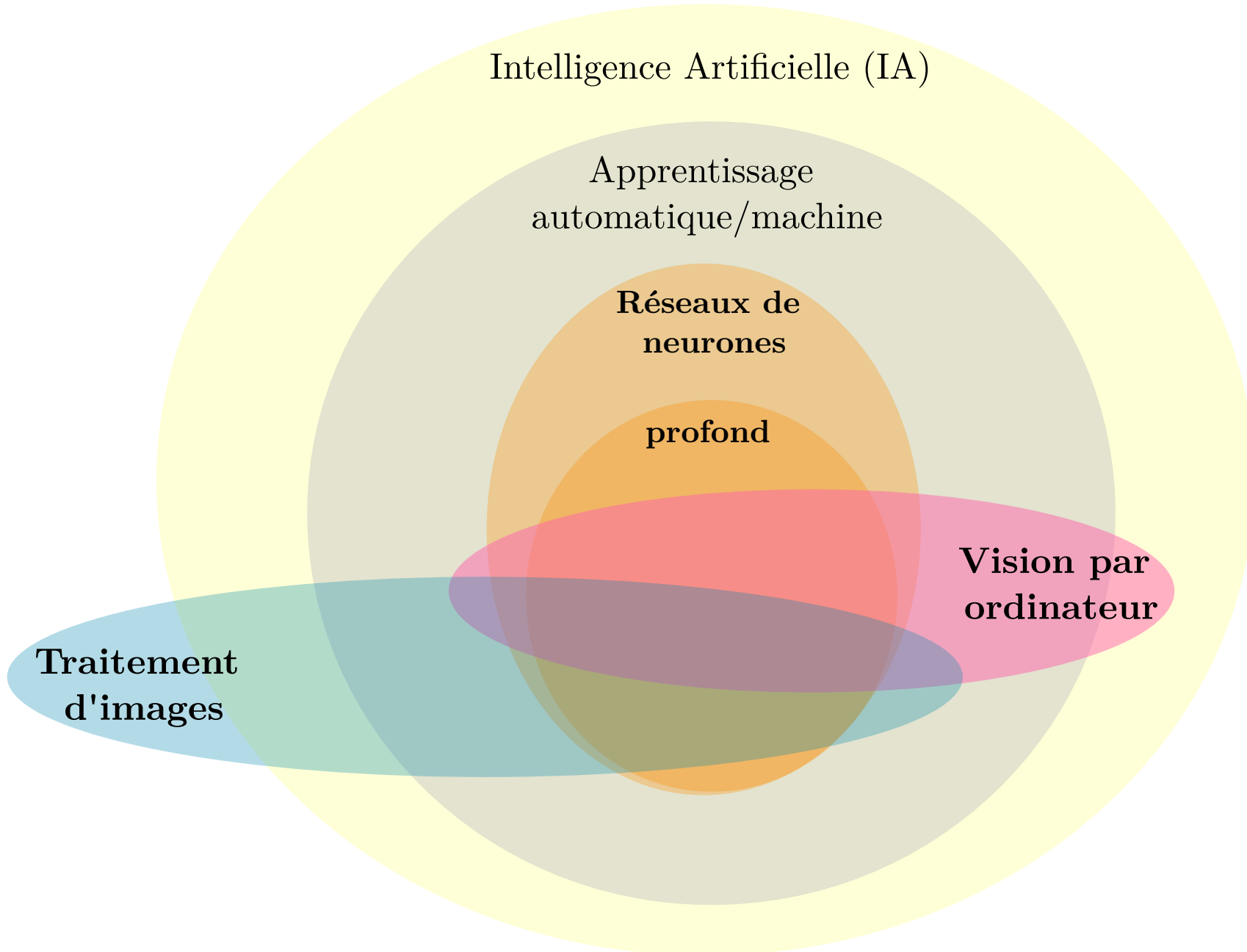
## Organisation

- **5h20 de cours et 8h de TP**
- Supports de cours : <https://remi-giraud.enseirb-matmeca.fr/teaching/>
- **Notation** : contrôle continu (contrôle de connaissance, rendu de TP)

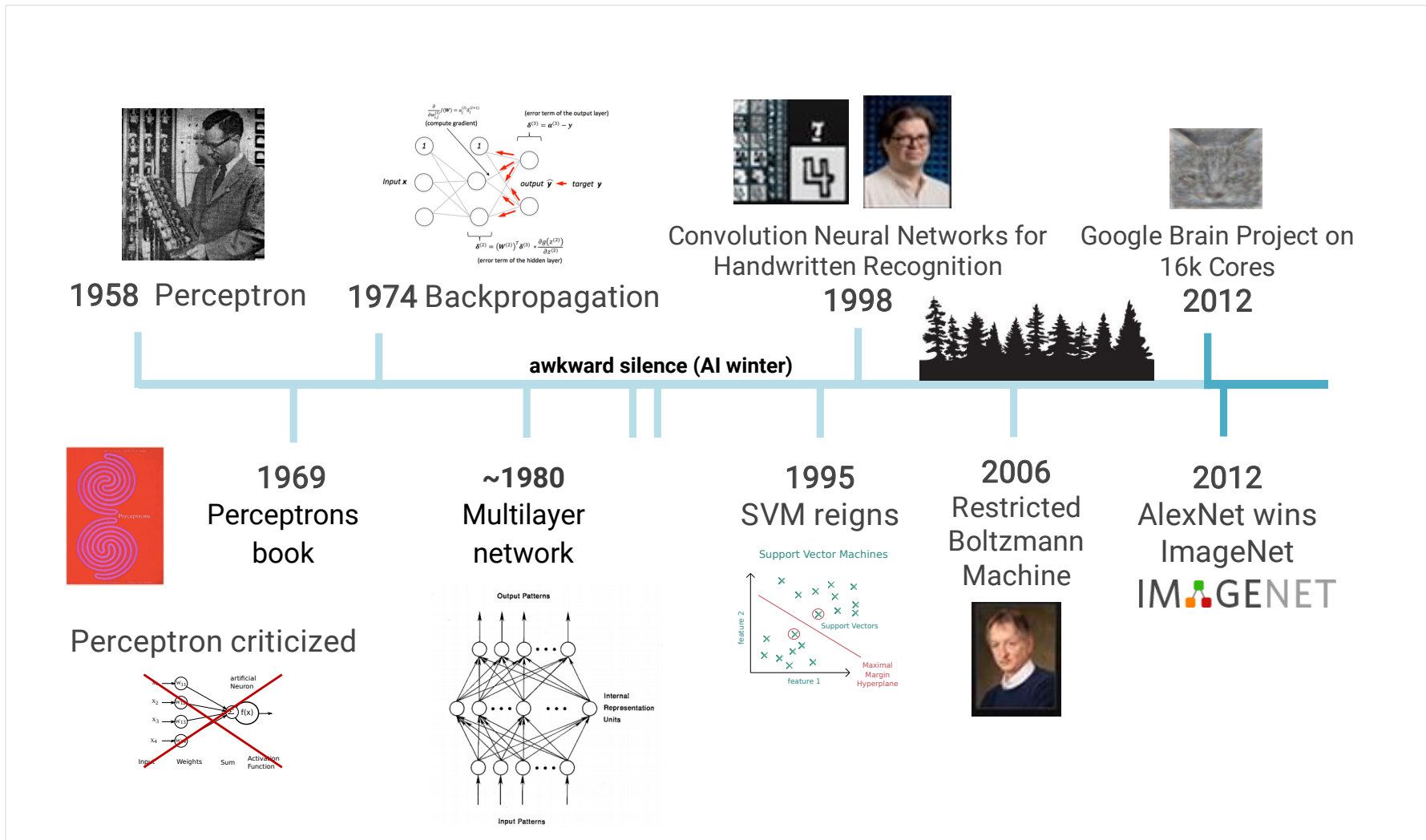
## Objectifs

- Comprendre comment fonctionnent les **réseaux de neurones** (profonds)
- Connaître les principales **architectures** et **outils** d'apprentissage profond
- Être capable de les **implémenter/utiliser** pour différentes applications de **vision par ordinateur** dans un contexte d'apprentissage **supervisé**

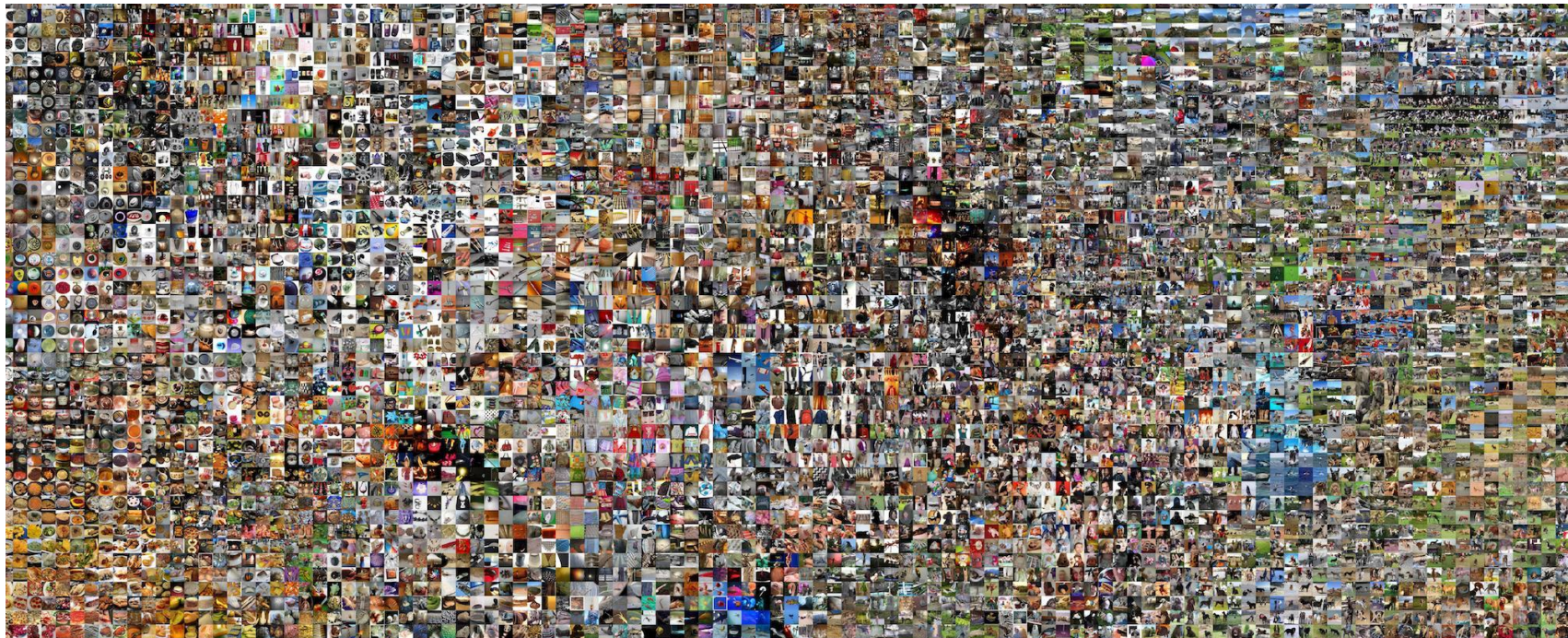
# **Introduction**



## Quelques dates clés dans la chronologie de l'apprentissage profond



## ImageNet



ImageNet:

- 12 millions d'images étiquetées,
- 22 000 classes,
- Étiquetées par *crowd-sourcing* (Amazon Mechanical Turk).

## ImageNet challenge (ILSVRC)



### ImageNet Large Scale Visual Recognition Challenges



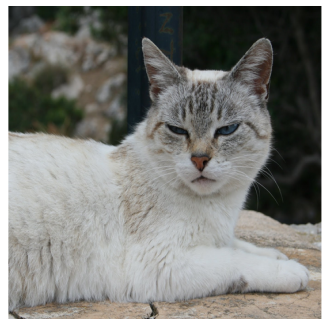
- ILSVRC {
- Challenge annuel depuis 2010,
  - Limité à 1 000 classes,
  - 1.2 million d'images de taille  $256 \times 256$  pour l'entraînement,
  - 50 000 images pour la validation 100 000 pour le test.

Pourquoi est-ce difficile pour l'ordinateur ?

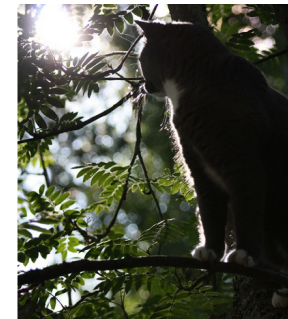
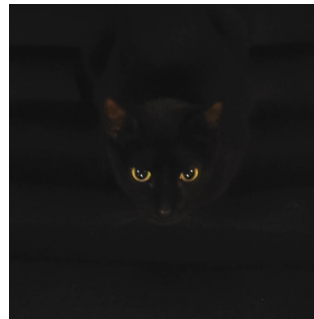


(a) Points de vue

## Pourquoi est-ce difficile pour l'ordinateur ?

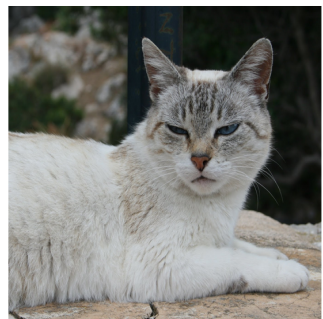


(a) Points de vue

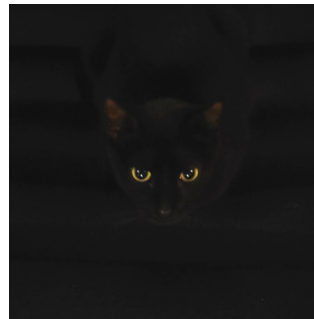


(b) Conditions d'illumination

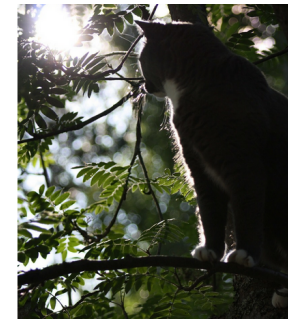
## Pourquoi est-ce difficile pour l'ordinateur ?



(a) Points de vue

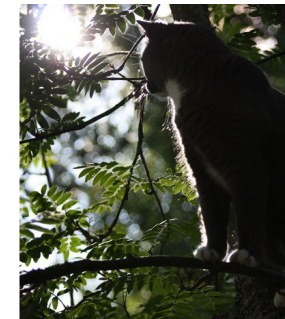
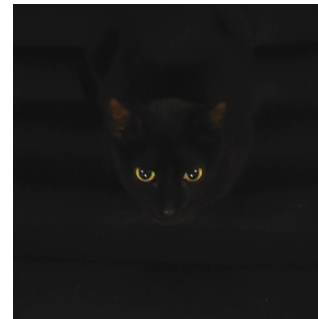
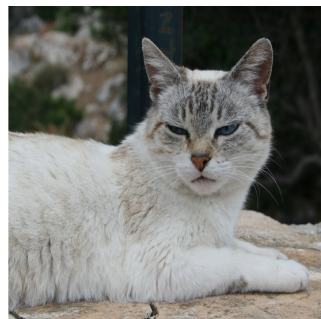


(b) Conditions d'illumination



(c) Variabilité intra-classe

## Pourquoi est-ce difficile pour l'ordinateur ?



(a) Points de vue

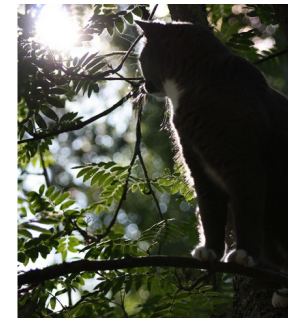
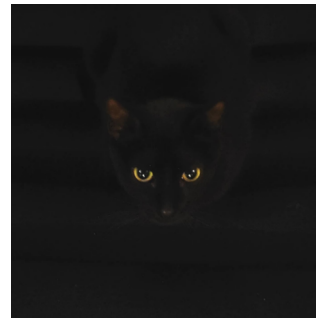
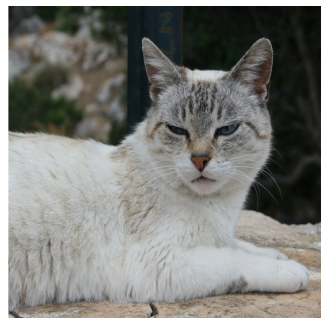
(b) Conditions d'illumination

(c) Variabilité intra-classe



(d) Occultations

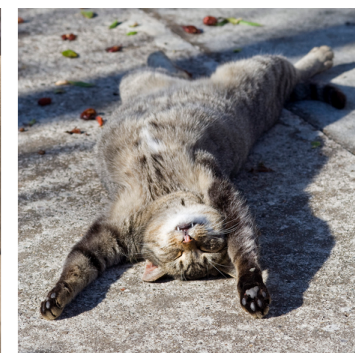
## Pourquoi est-ce difficile pour l'ordinateur ?



(a) Points de vue

(b) Conditions d'illumination

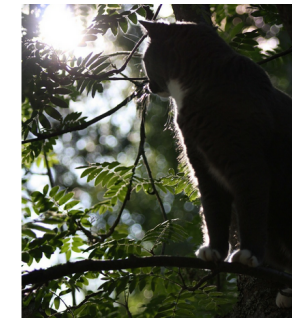
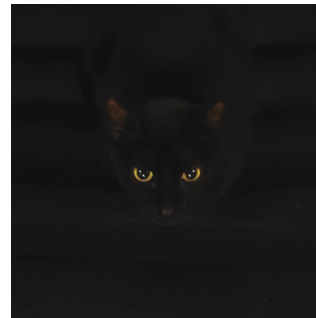
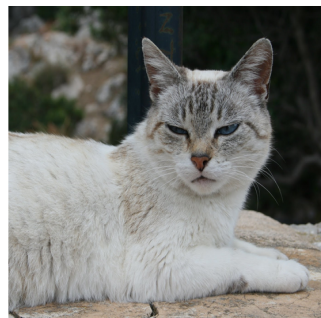
(c) Variabilité intra-classe



(d) Occultations

(e) Objets déformables

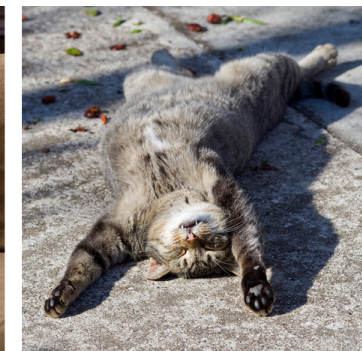
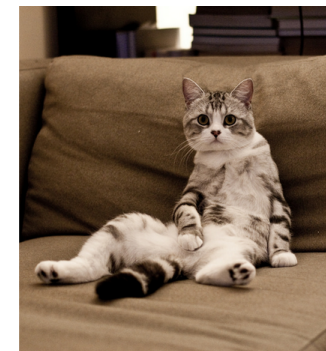
## Pourquoi est-ce difficile pour l'ordinateur ?



(a) Points de vue

(b) Conditions d'illumination

(c) Variabilité intra-classe



(d) Occultations

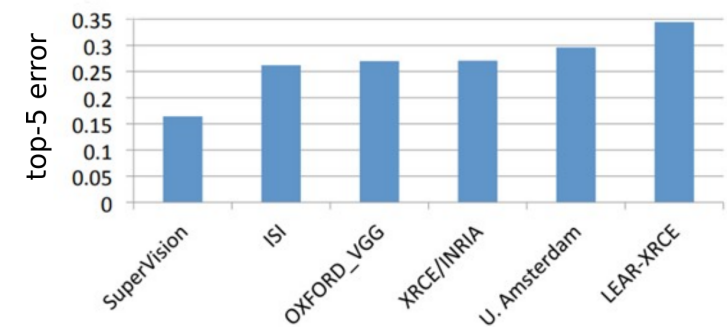
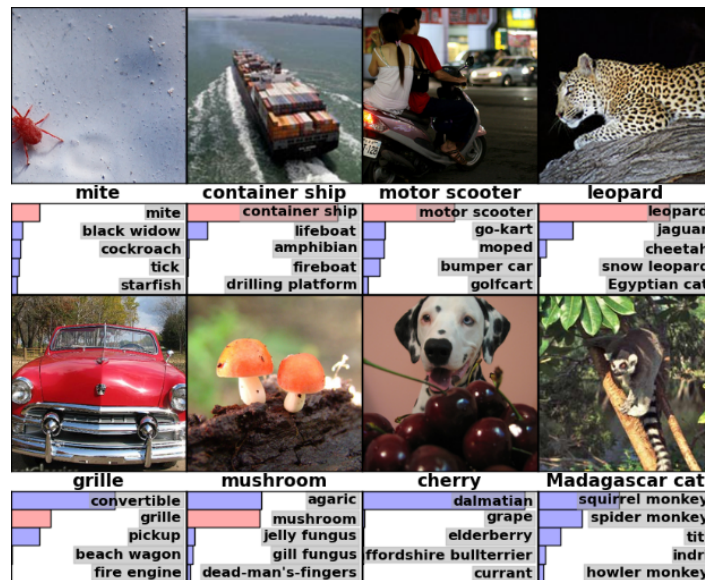
(e) Objets déformables

(f) Proximité  
inter-classes

# Explosion de l'apprentissage profond

## AlexNet (Supervision)<sup>1</sup>

- Large réseaux de neurones à convolution (62.3 millions de paramètres)
- 6 jours d'apprentissage sur 2 GPUs (GTX 580 3GB)
- Utilisation des nouveaux outils d'apprentissage profond  
(calcul sur GPU, normalisation, optimisation, augmentation de données, ...)
- 1er au challenge ILSVRC2012 avec une erreur top-5 à 16.4% (2e : 26.2%).



→ Explosion de l'apprentissage profond depuis 2010 dans **tous les domaines**

1. [Krizhevsky et al., 2012] - ImageNet Classification with Deep Convolutional Neural Networks. In NeurIPS.

# De nouvelles applications et de nouveaux enjeux/risques...

## Automatisation de tâches/métiers

Perte d'emploi / Adaptation de la société ?



Mme Tang Yu, PDG du chinois NetDragon Websoft et de ses 6000 employés, est le premier robot à être nommé à la tête d'une société. Disponible H24, elle ne touche aucun salaire. *NetDragon Websoft*

# De nouvelles applications et de nouveaux enjeux/risques...

## Automatisation de tâches/métiers

Perte d'emploi / Adaptation de la société ?



Mme Tang Yu, PDG du chinois NetDragon Websoft et de ses 6000 employés, est le premier robot à être nommé à la tête d'une société. Disponible H24, elle ne touche aucun salaire. *NetDragon Websoft*

## Diagnostic médical

Biais de population ?



# De nouvelles applications et de nouveaux enjeux/risques...

## Automatisation de tâches/métiers

Perte d'emploi / Adaptation de la société ?



Mme Tang Yu, PDG du chinois NetDragon Websoft et de ses 6000 employés, est le premier robot à être nommé à la tête d'une société. Disponible H24, elle ne touche aucun salaire. *NetDragon Websoft*

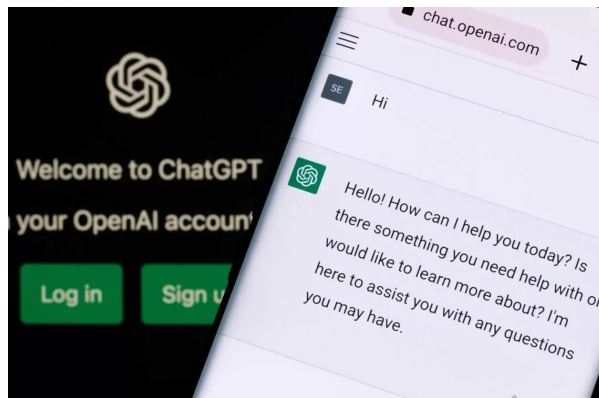
## Diagnostic médical

Biais de population ?



## Bots conversationnels

Vérification des informations / Triche ?



Interface de ChatGPT (OpenAI)

## **De nouvelles applications et de nouveaux enjeux/risques...**

## Automatisation de tâches/métiers

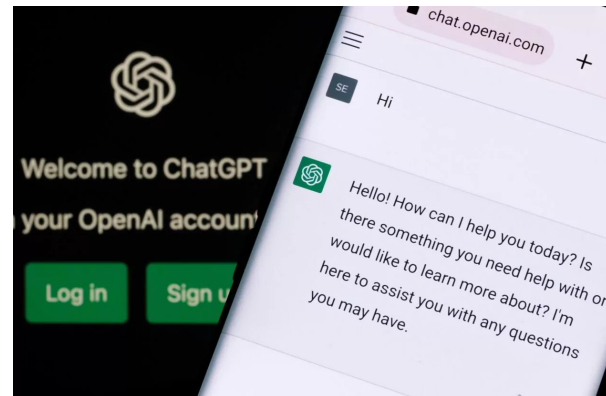
## Perte d'emploi / Adaptation de la société ?



Mme Tang Yu, PDG du chinois NetDragon Websoft et de ses 6000 employés, est le premier robot à être nommé à la tête d'une société. Disponible H24, elle ne touche aucun salaire. *NetDragon Websoft*

# Bots conversationnels

# Vérification des informations / Triche ?



*Interface de ChatGPT (OpenAI)*

# Diagnostic médical

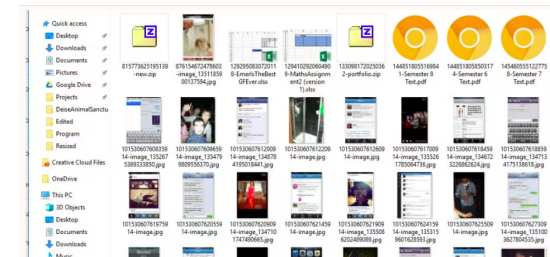
## Biais de population ?



## Big Data

# Utilisation des données privées ?

Are you ready? Here is all the data Facebook and Google have on you  
*Dylan Curran*

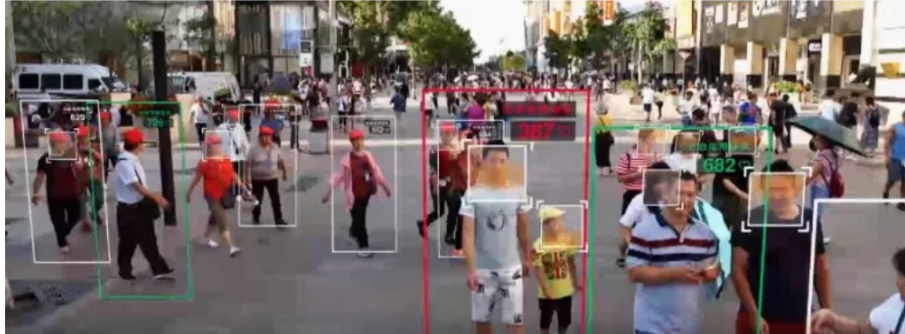


[Lien : Données privées possédées par Google]

# De nouvelles applications et de nouveaux enjeux/risques...

## Vidéo surveillance

Outil de contrôle / Abus ?

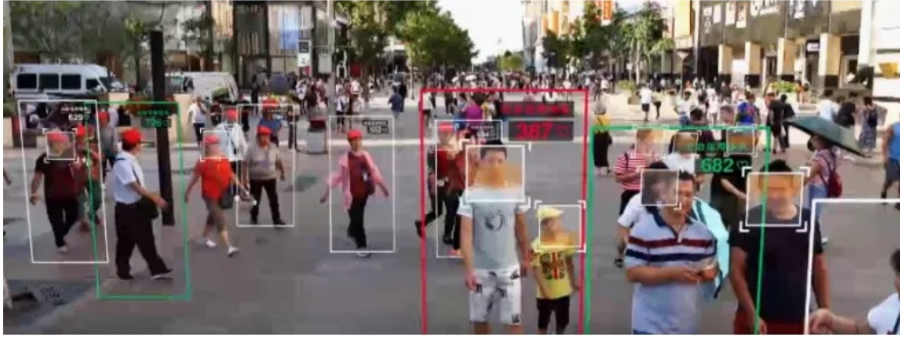


*The Chinese state wants to control its citizens via a system of social scoring that punishes behavior it doesn't approve of. Image Credit: Telecoms*

# De nouvelles applications et de nouveaux enjeux/risques...

## Vidéo surveillance

Outil de contrôle / Abus ?



*The Chinese state wants to control its citizens via a system of social scoring that punishes behavior it doesn't approve of. Image Credit: Telecoms*

## Navigation autonome

Responsabilité en cas d'accident ?

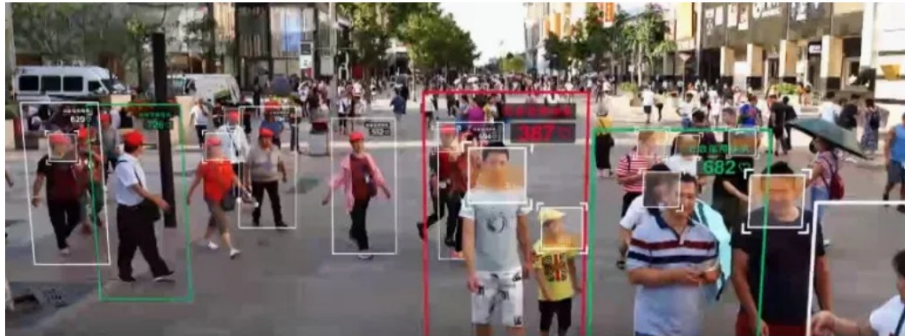


Tesla said autopilot was activated during a fatal Model X crash last week in California.

# De nouvelles applications et de nouveaux enjeux/risques...

## Vidéo surveillance

Outil de contrôle / Abus ?



The Chinese state wants to control its citizens via a system of social scoring that punishes behavior it doesn't approve of. Image Credit: Telecoms

## Navigation autonome

Responsabilité en cas d'accident ?



Tesla said autopilot was activated during a fatal Model X crash last week in California.

## Génération automatique de contenus (vidéo, image, son)

Preuve de l'authenticité ?



Vidéo de Vladimir Poutine interviewé par son double DeepFake

Graphistes ?



Image générée automatiquement par Midjourney

Propriété intellectuelle ?



Générique de One Piece chanté par Johnny Hallyday

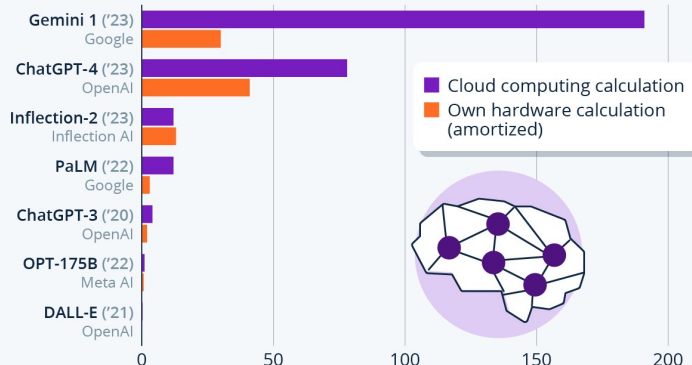
## Entraîner des modèles, ça prend du temps et ça consomme



Source: Strubell *et al.*

### The Extreme Cost of Training AI Models

Estimated cost of training selected AI models  
(in million U.S. dollars), by different calculation models



Rounded numbers. Excludes staff salaries that can make up 29-49% of final cost (including equity)  
Source: Epoch AI



statista

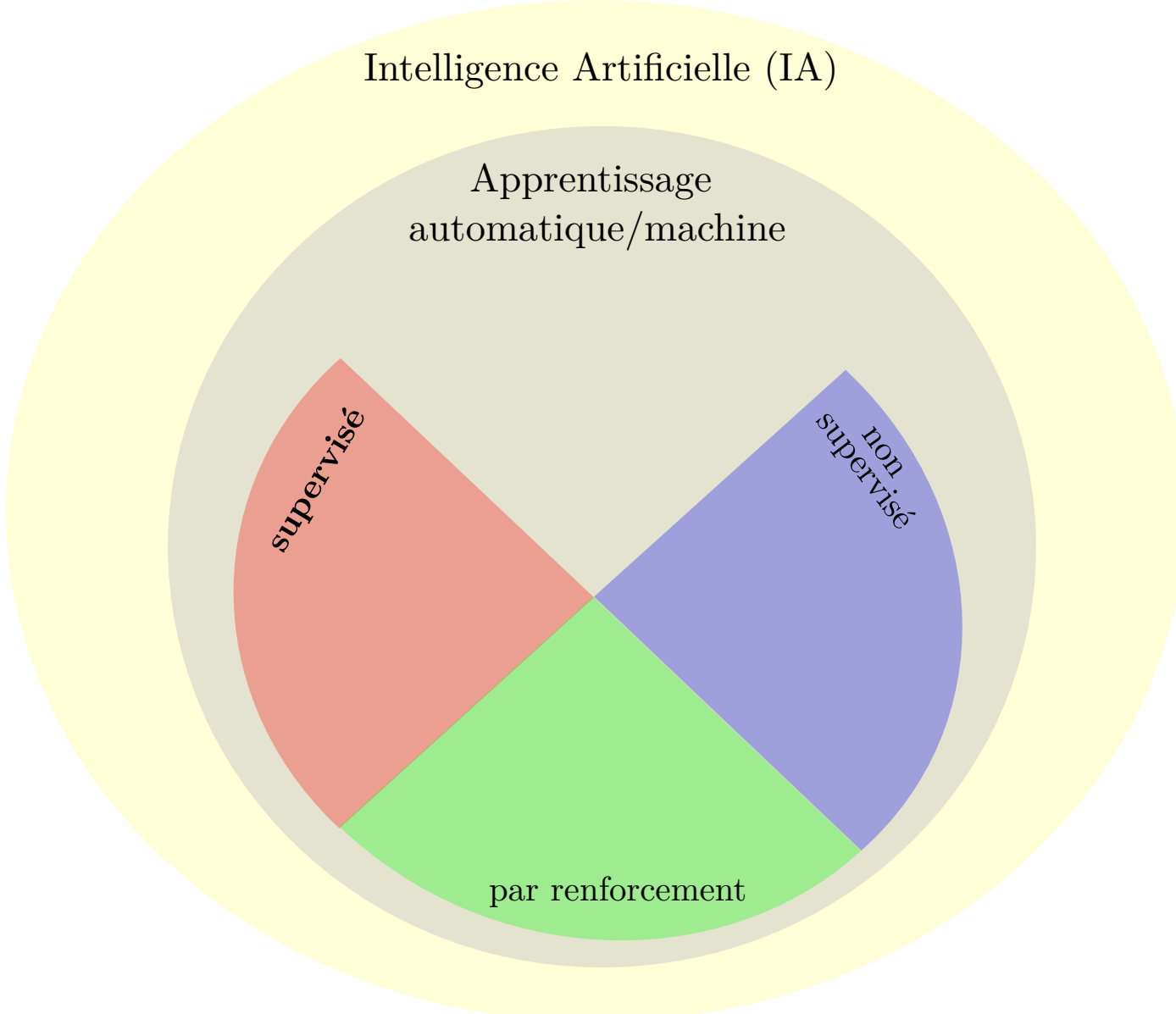
## Quelques outils :

- Green Algorithms. How green are your computations?  
<https://calculator.green-algorithms.org/>
- carbontracker  
<https://pypi.org/project/carbontracker/>
- ...

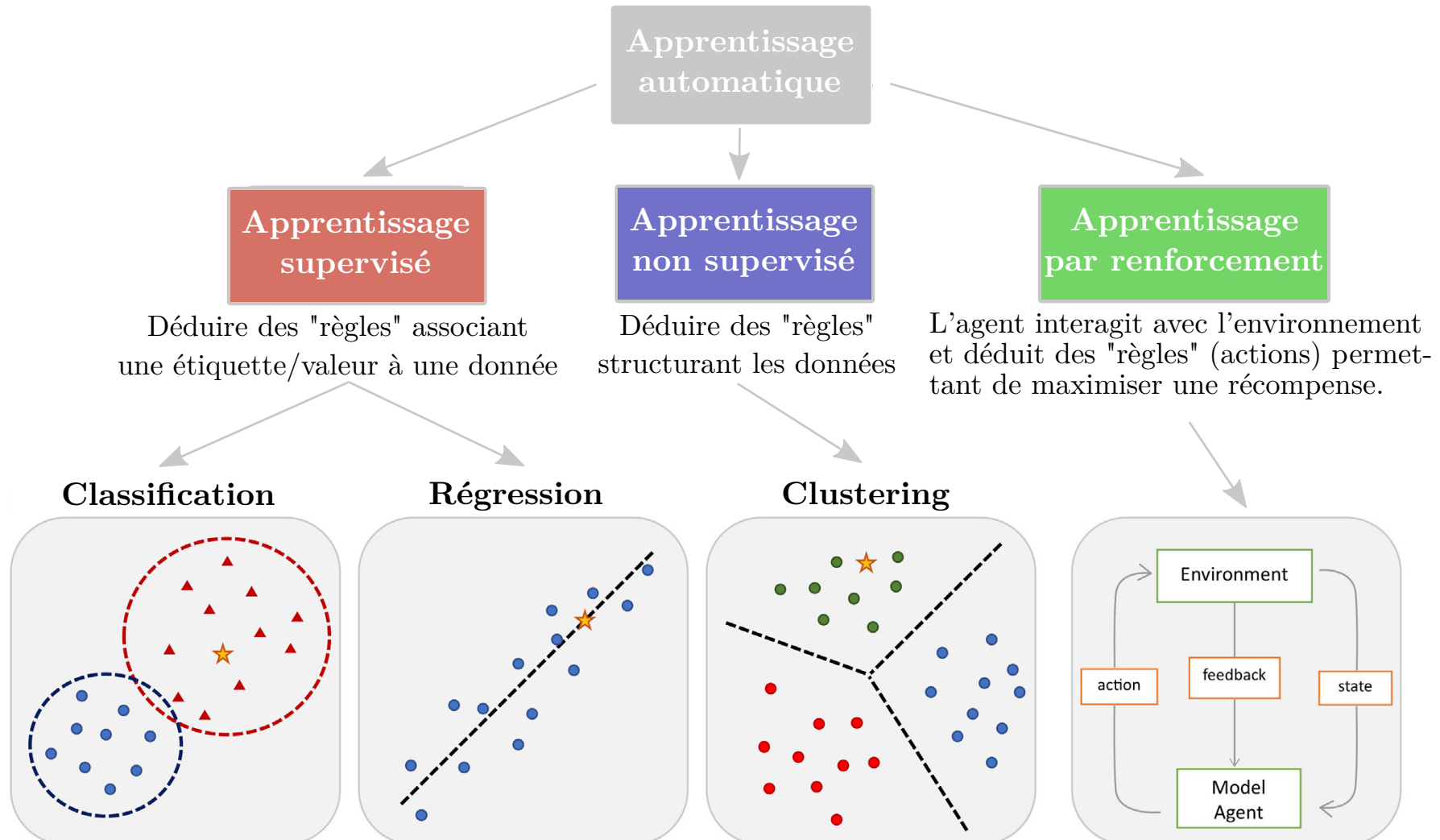
- ① Introduction
- ② Apprentissage supervisé
- ③ Approches paramétriques
- ④ Réseaux de neurones
- ⑤ Apprentissage des paramètres
- ⑥ Réseaux de neurones à convolution (CNN)
- ⑦ Réseaux de neurones profonds
- ⑧ Techniques et outils

# **Apprentissage supervisé**

## Différents types d'apprentissage

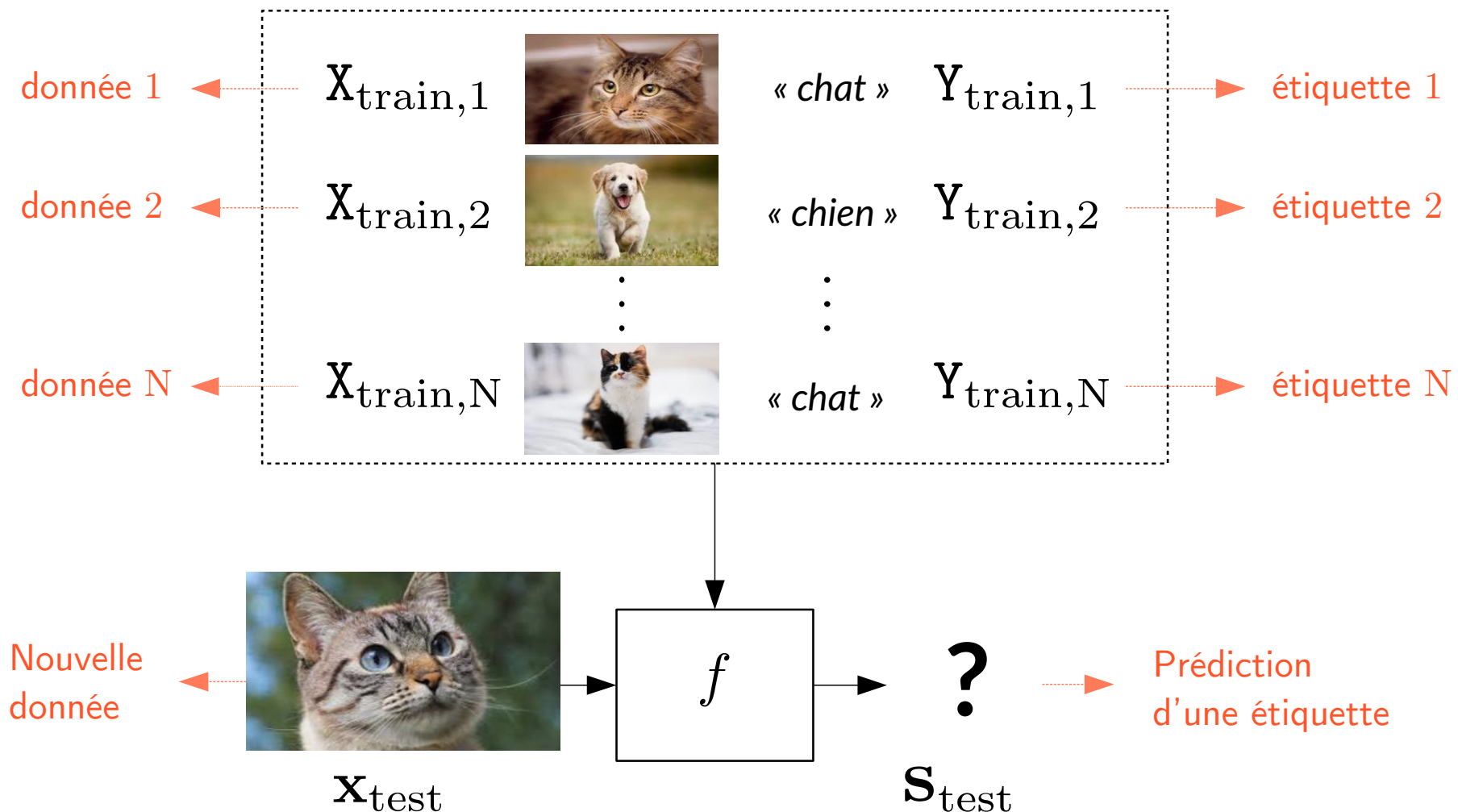


## Différents types d'apprentissage

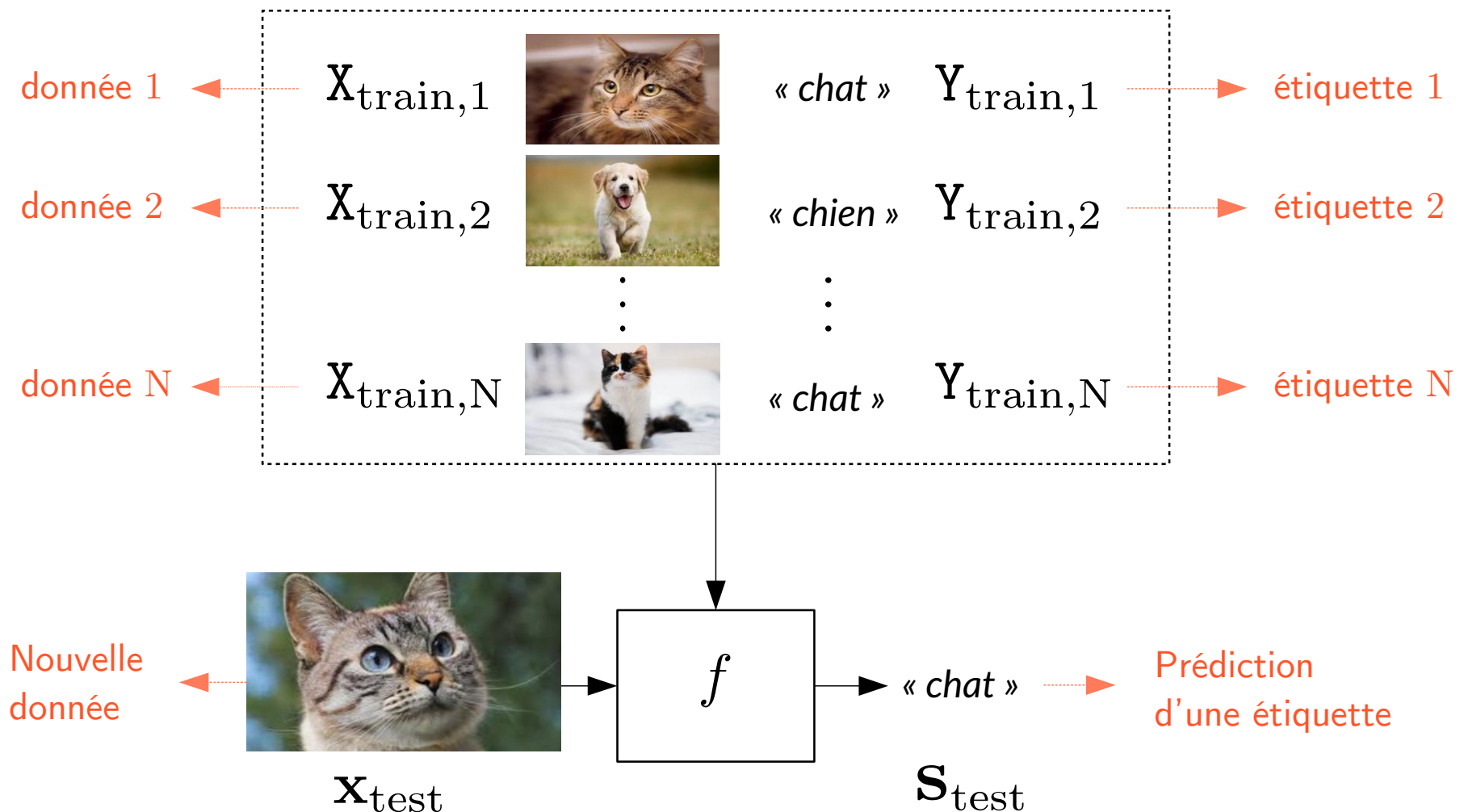


Source : [Peng et al. 2021] - Machine Learning Techniques for Personalised Medicine Approaches in Immune-Mediated Chronic Inflammatory Diseases: Applications and Challenges. In Frontiers in Pharmacology.

## Exemple d'un classifieur chat / chien

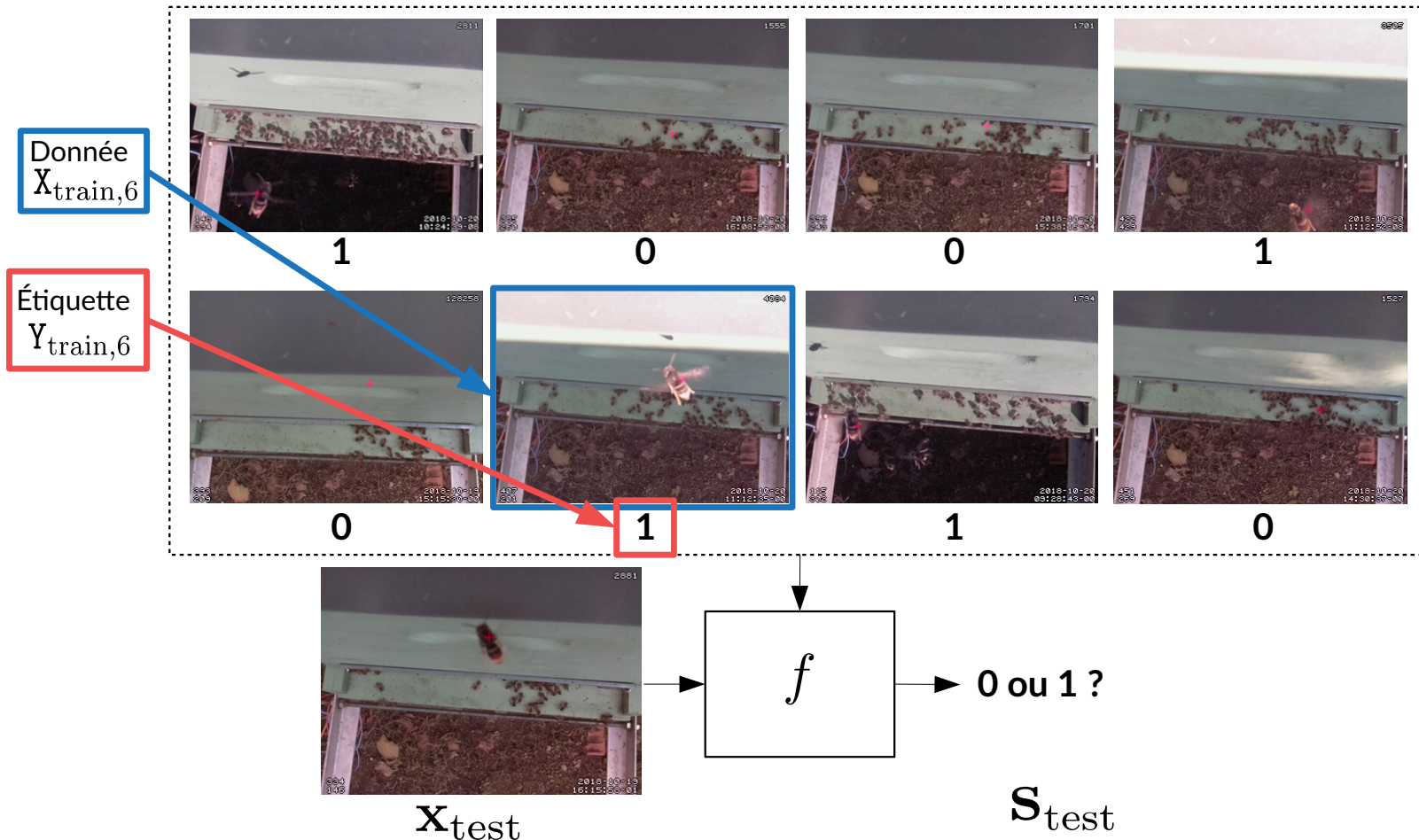


## Exemple d'un classifieur chat / chien

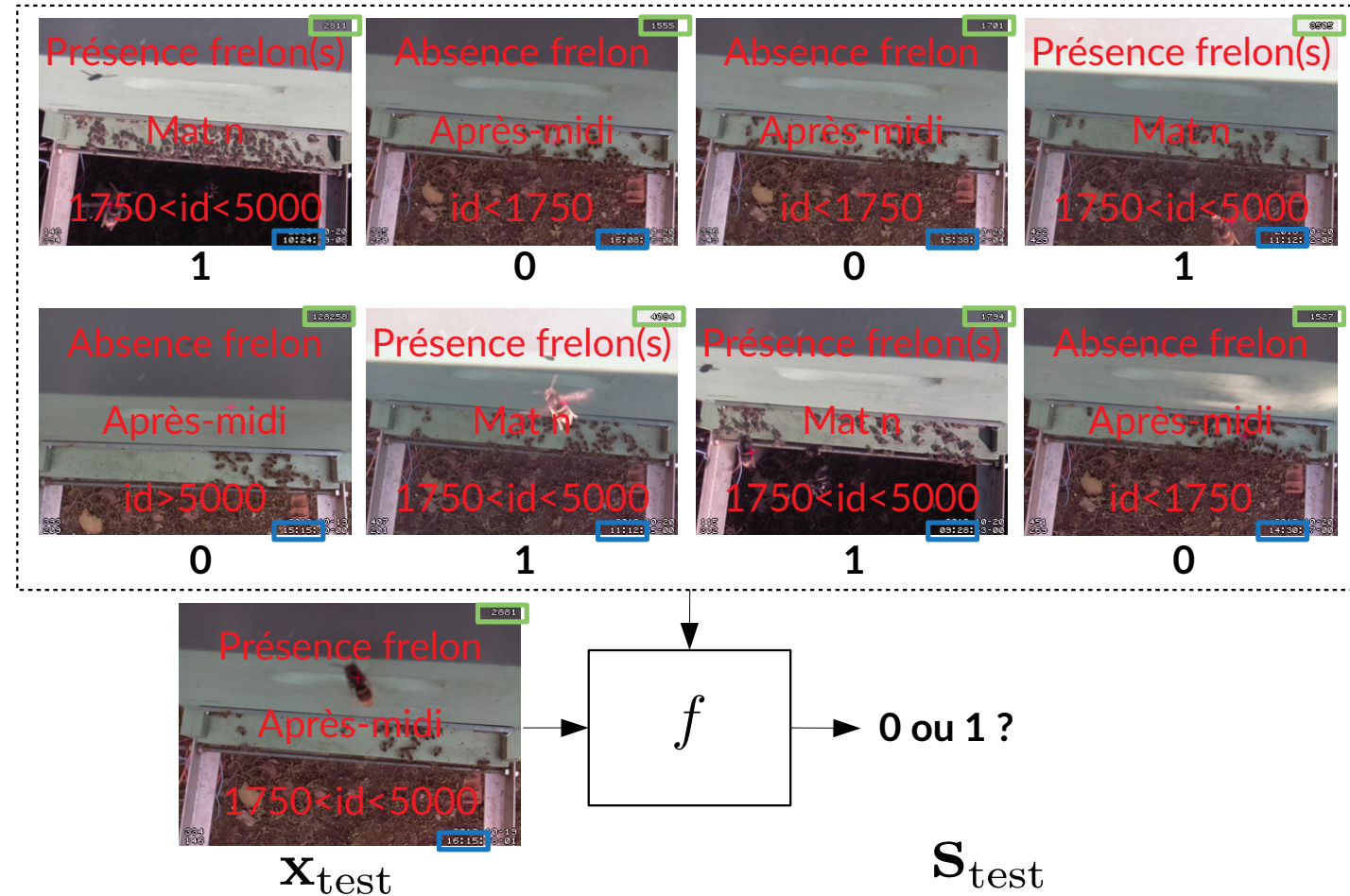


# Apprentissage supervisé

Pouvez-vous résoudre ce problème d'apprentissage supervisé ?

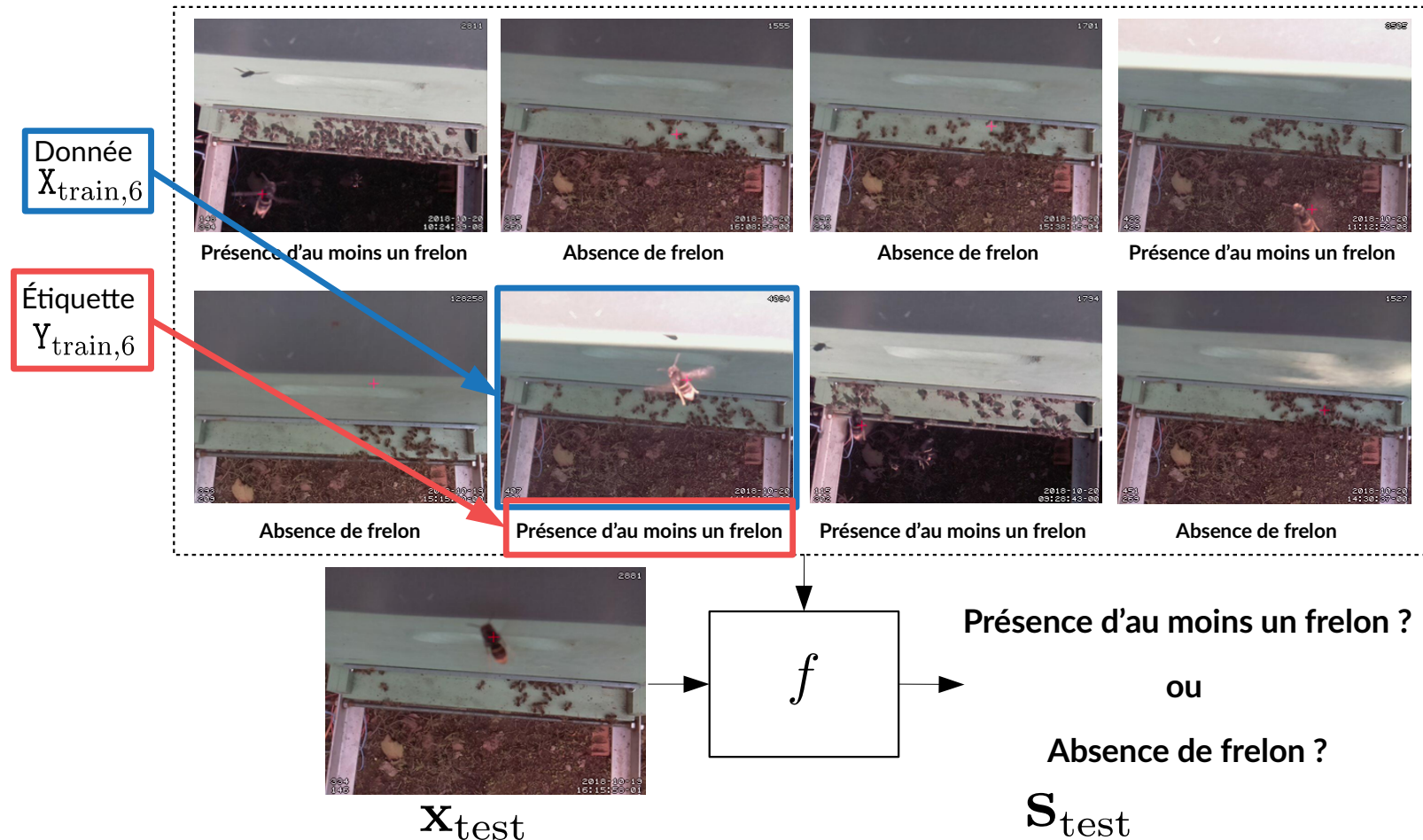


## Mais de quel problème parle-t-on au juste ?

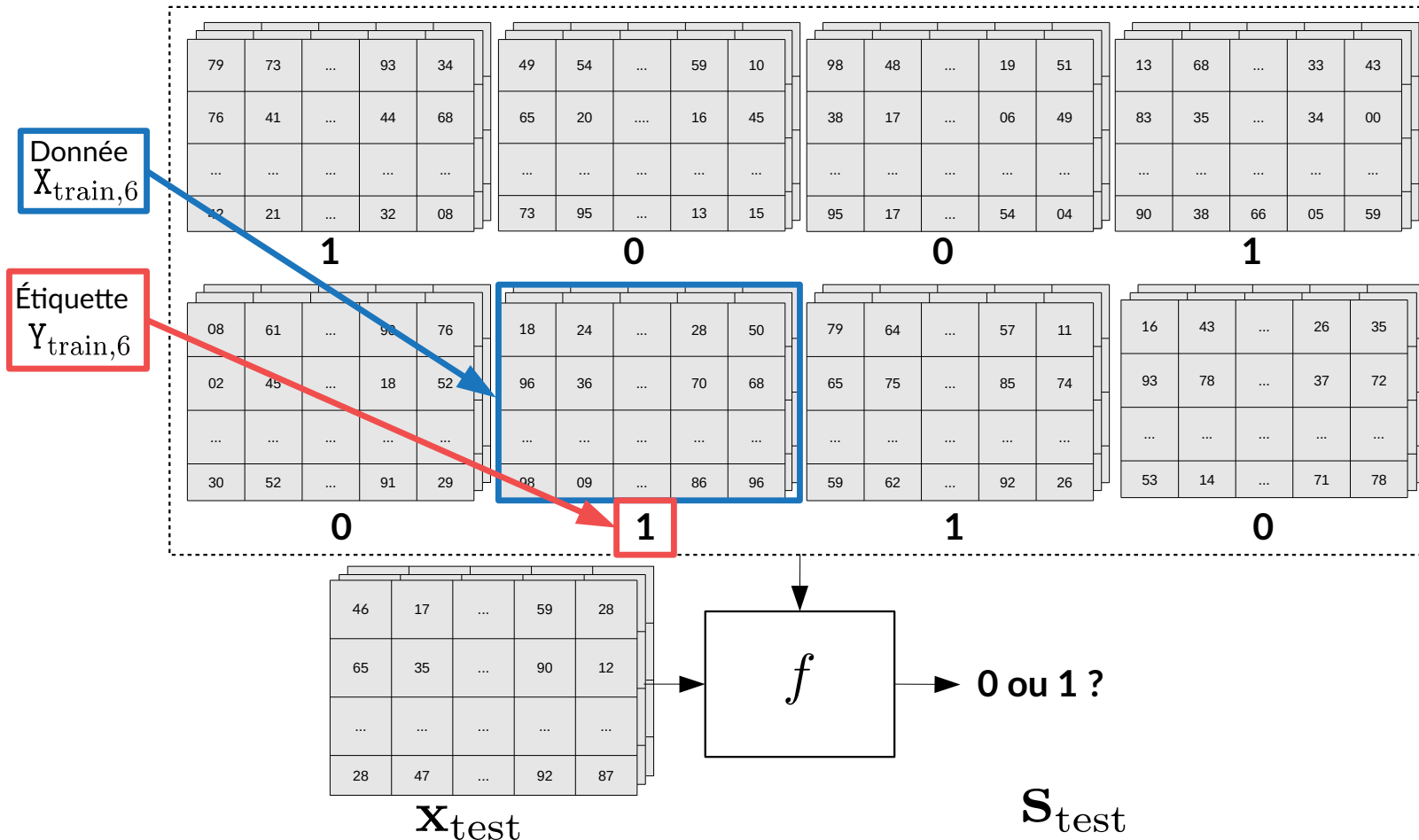


# Apprentissage supervisé

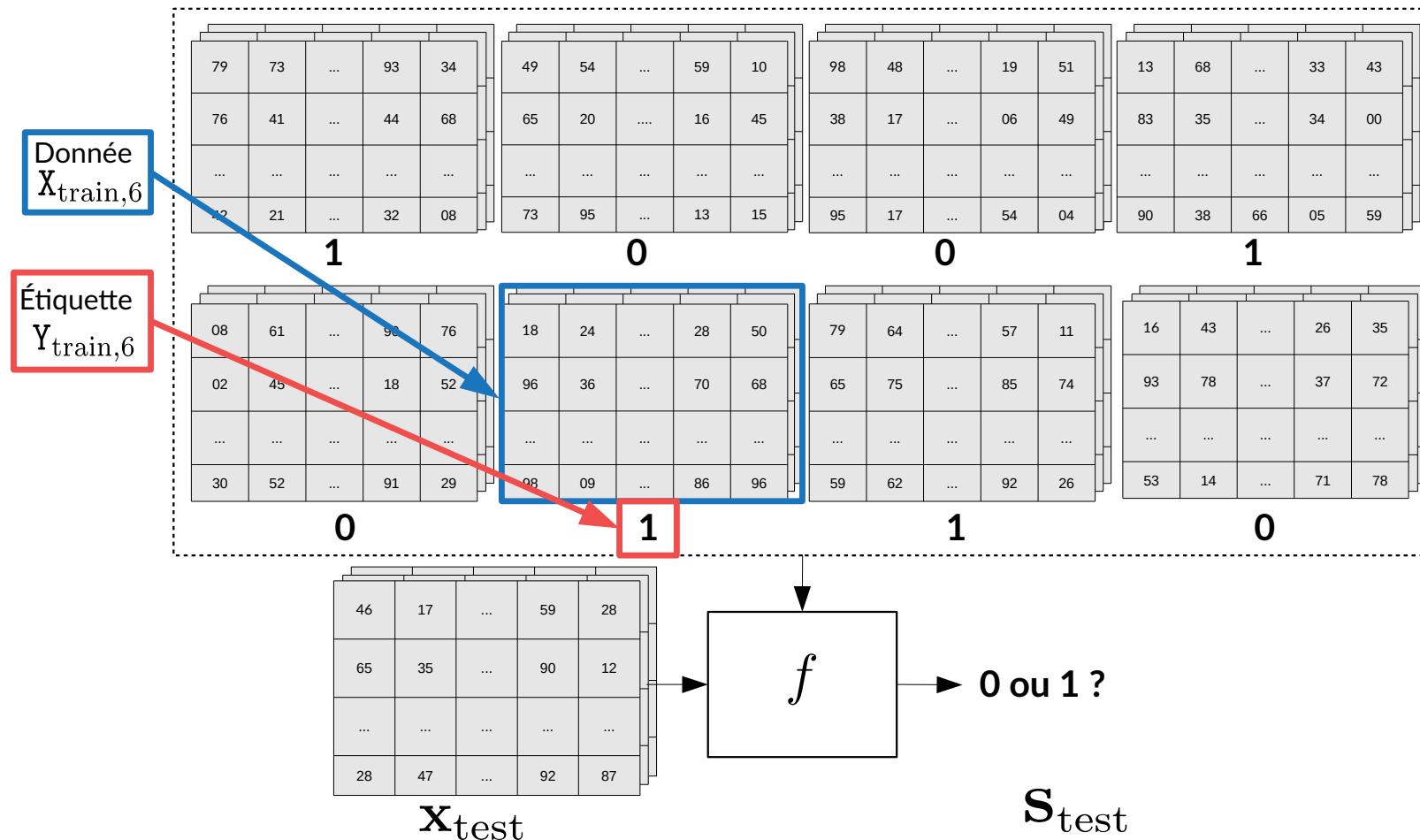
On veut que l'ordinateur apprenne à résoudre le problème suivant



Une fois mis en forme pour l'ordinateur le problème devient



Une fois mis en forme pour l'ordinateur le problème devient



Les règles déduites ne seront (probablement) pas interprétables → “Boîte noire”  
 C'est nous qui interprétons : “0” = présence frelon ; “1” = absence frelon

## Résumé

- L'apprentissage supervisé utilise des **données d'entraînement** assorties d'**étiquettes**
- L'ordinateur apprend “des règles”/une **fonction** qui effectue des calculs sur des tableaux de valeurs numériques et produit une valeur numérique en sortie.
- Dans le cas d'une classification, nous **interprétons** cette valeur numérique en sortie comme une étiquette “sémantique”.
- **Questions ?**
  - Quelle méthode choisir pour déterminer la fonction ?  
Plus proches voisins, classification Bayésienne, SVM, réseaux de neurones, ...
  - Comment déterminer les paramètres et hyperparamètres ?
  - De quelles données avons-nous besoin ?
  - Comment évaluer la qualité de la fonction ?
  - ...

# **Approches paramétriques**

## Différents formalismes

- Mathématique

$$\mathbf{s} = f(\mathbf{x}; \boldsymbol{\theta}) \quad \boldsymbol{\theta} = \text{paramètres}$$

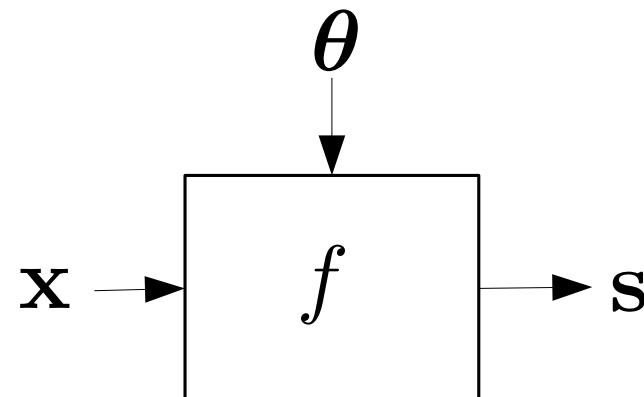
---

- Informatique  
(Python)

```
def f(x, theta):  
    ...  
    ...  
    s = ...  
    return s
```

---

- Graphique  
(Graphe de calcul)



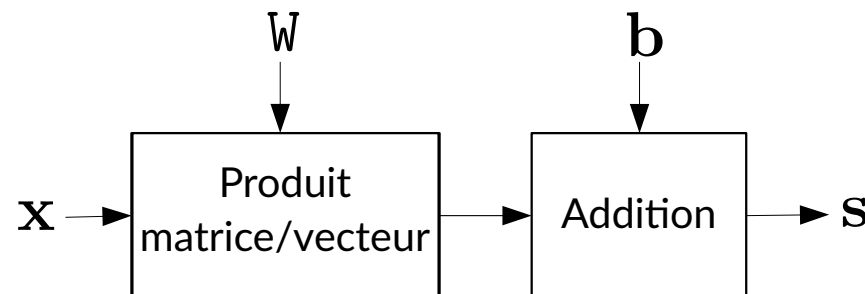
## Exemple : transformation affine

- Mathématique  $s = f(\mathbf{x}; \theta = \{W, b\}) = W\mathbf{x} + b$
- 

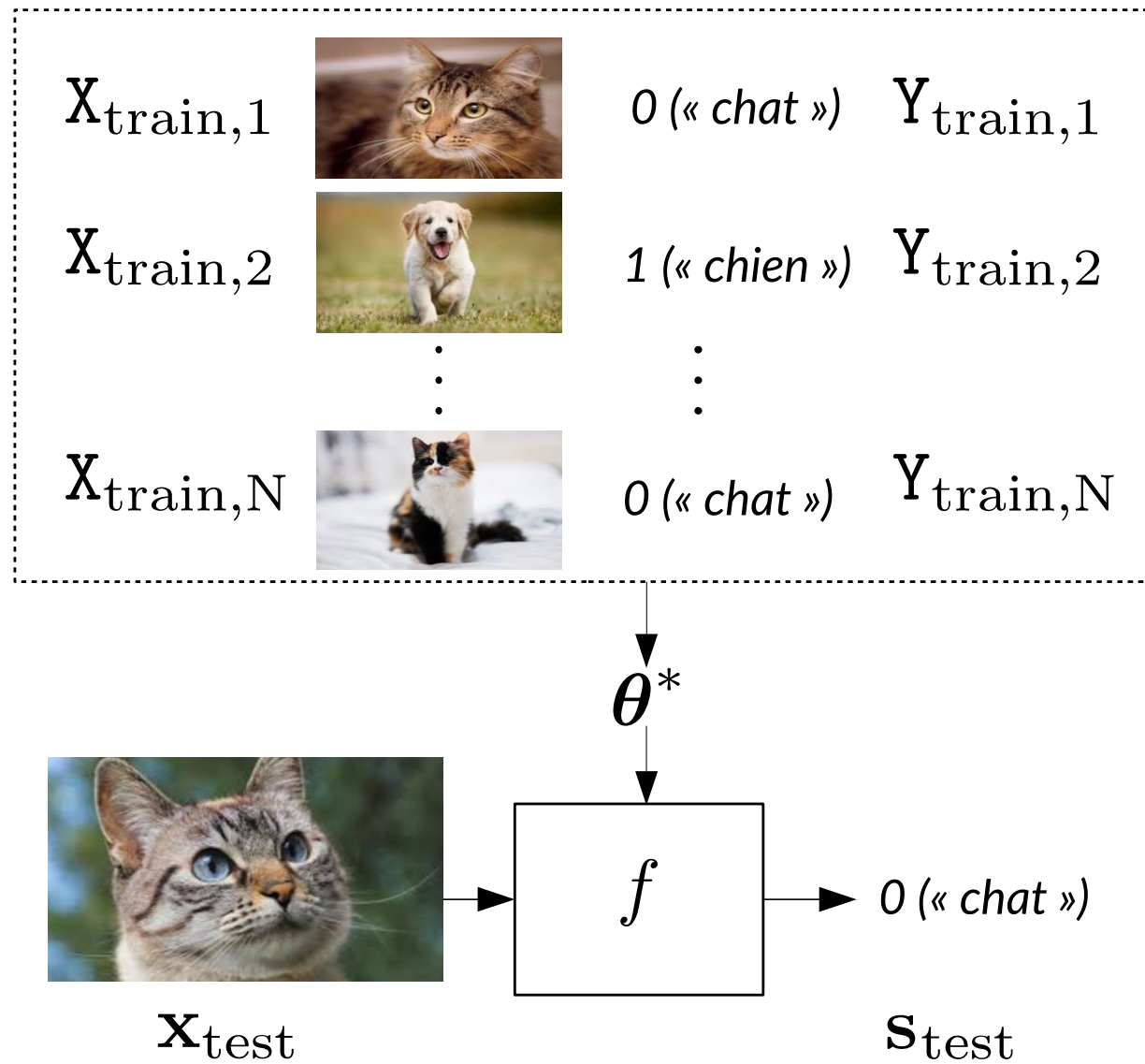
- Informatique  
(Python)

```
def f(x, W, b):
    s = x @ W + b
    return s
```

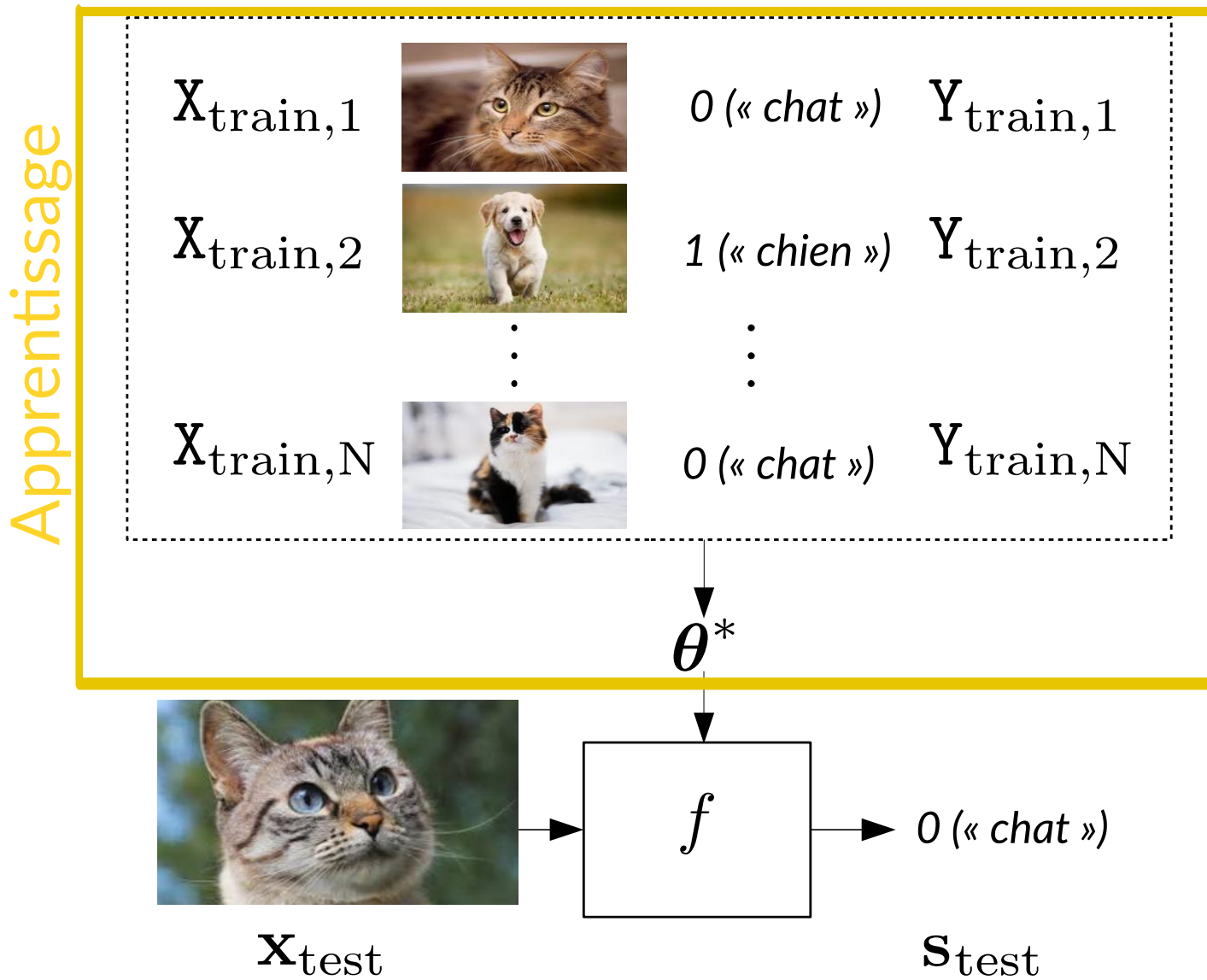
- 
- Graphique  
(Graphe de calcul)



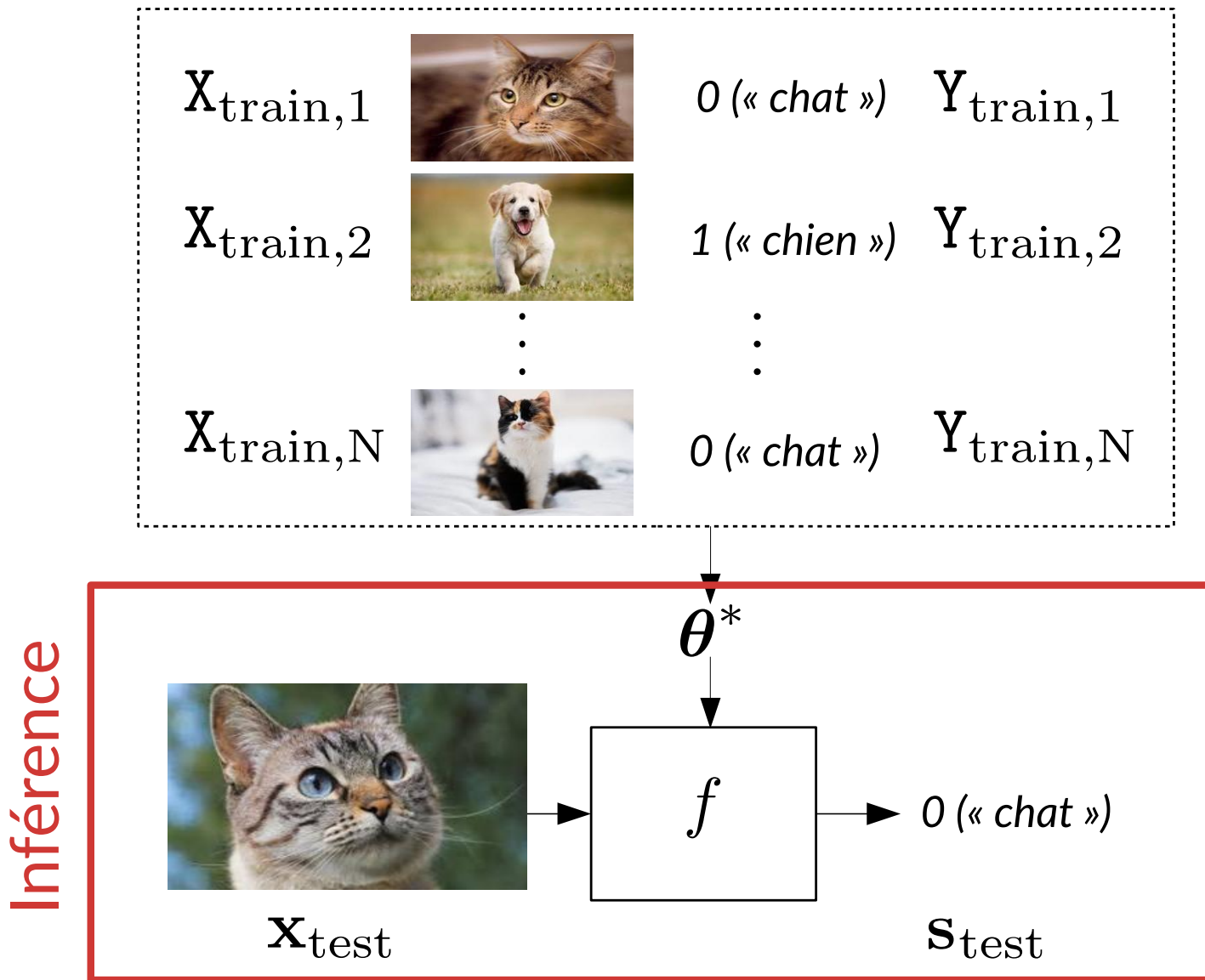
## Les différentes étapes



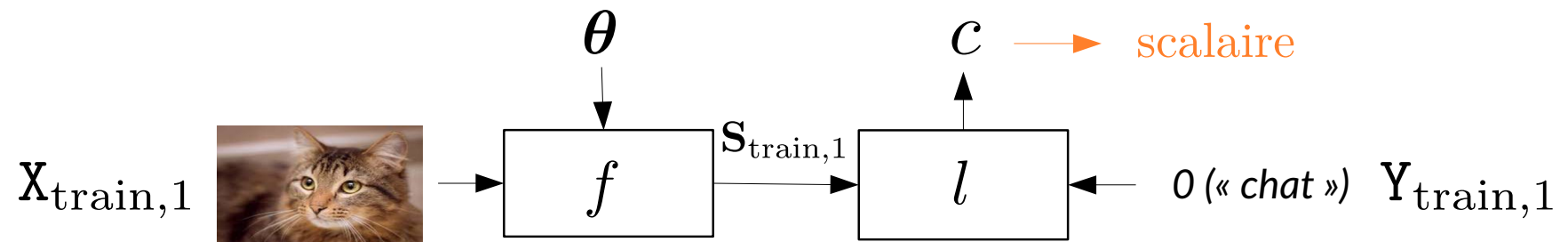
## Les différentes étapes



## Les différentes étapes

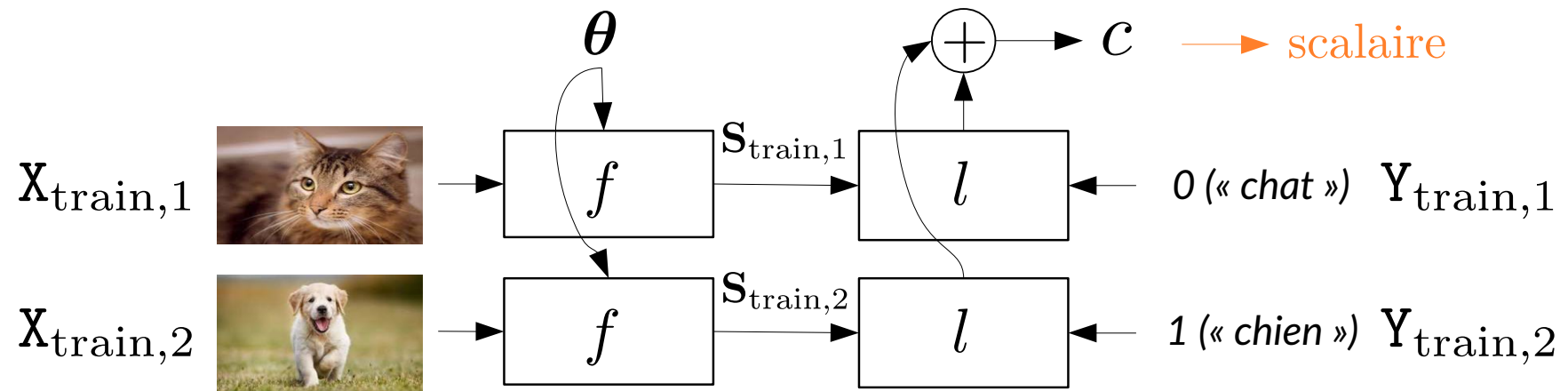


## Étape d'apprentissage (“*training time*”)



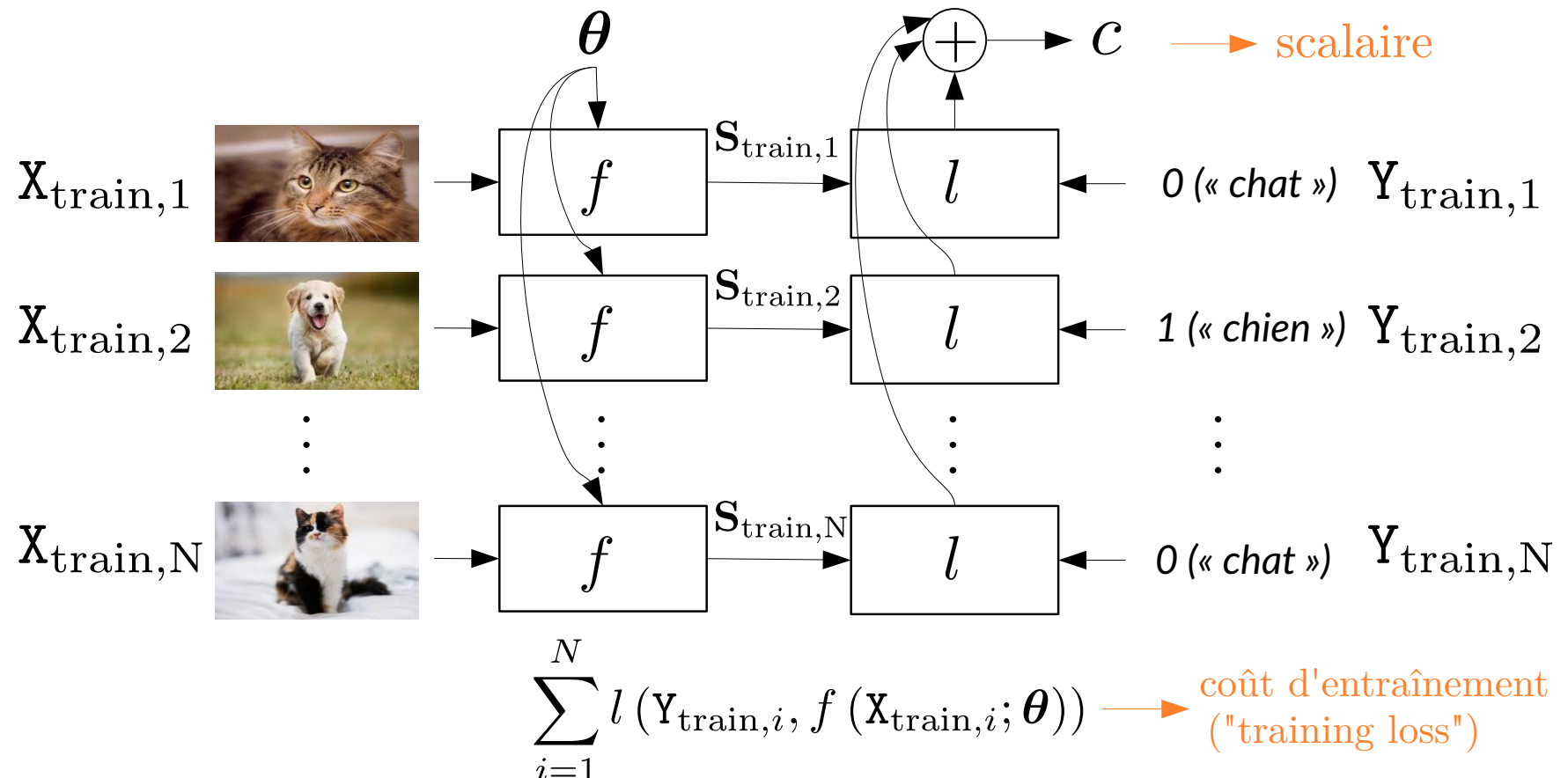
Où  $l$  est une **fonction de coût** (“loss function”) à choisir, permettant de comparer la prédiction du réseau à l'étiquette

## Étape d'apprentissage (“*training time*”)



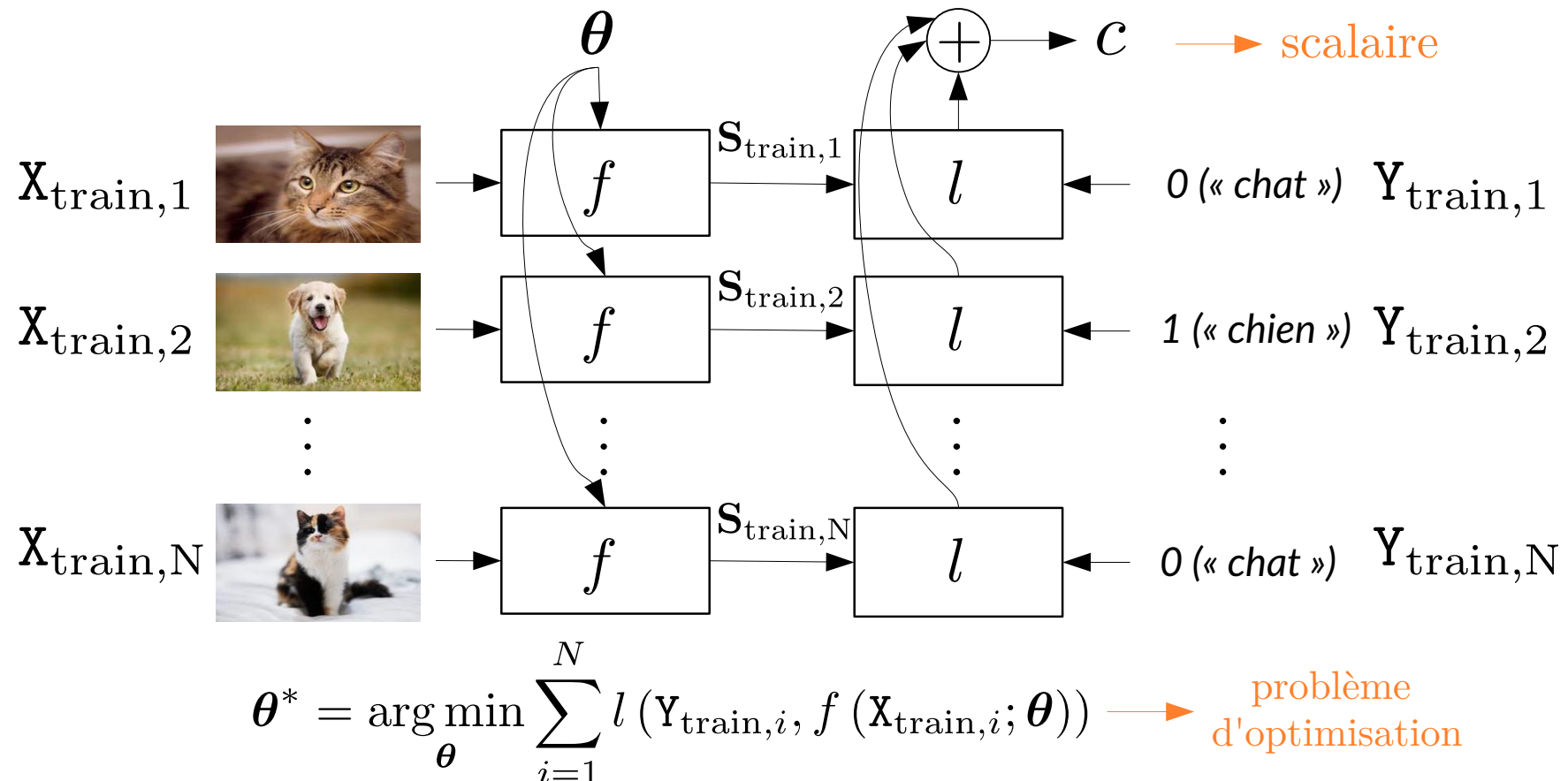
Où  $l$  est une **fonction de coût** (“loss function”) à choisir, permettant de comparer la prédiction du réseau à l'étiquette

## Étape d'apprentissage (“*training time*”)



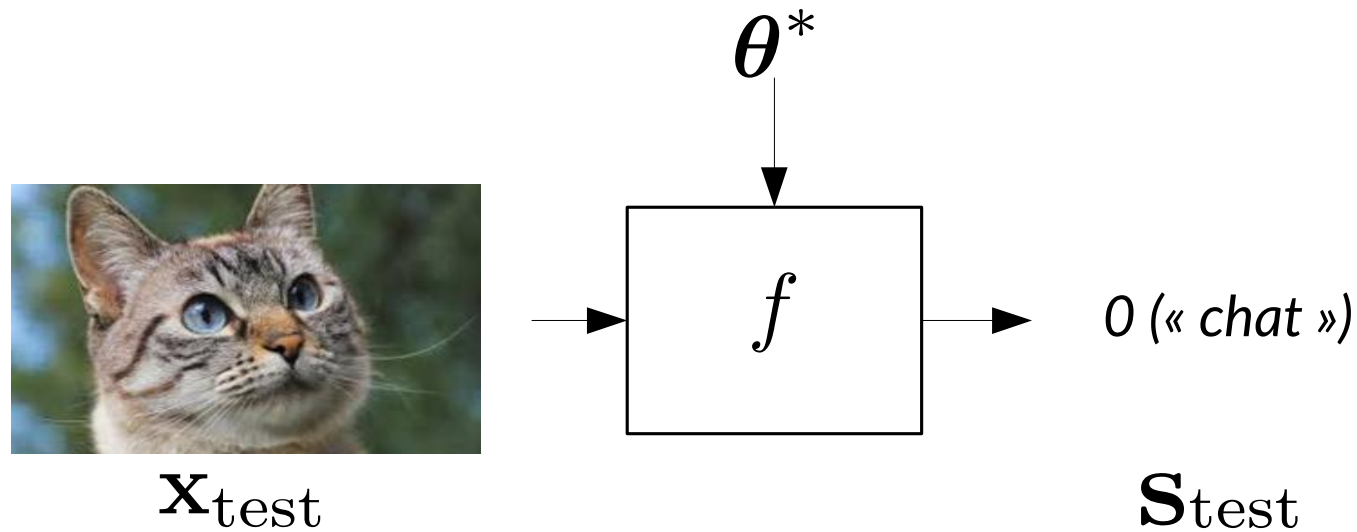
Où  $l$  est une **fonction de coût** (“loss function”) à choisir, permettant de comparer la prédiction du réseau à l'étiquette

## Étape d'apprentissage (“*training time*”)



Où  $l$  est une **fonction de coût** (“loss function”) à choisir, permettant de comparer la prédiction du réseau à l'étiquette

## Étape d'inférence (“*test time*”)

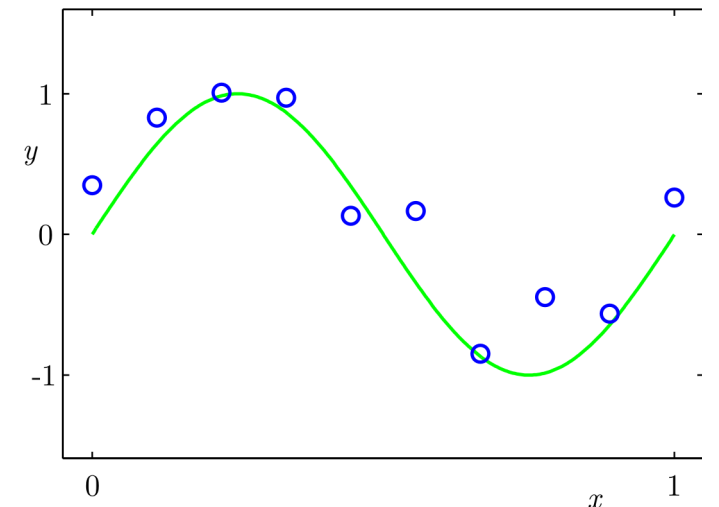


$$\mathbf{s}_{\text{test}} = f(\mathbf{x}_{\text{test}}; \boldsymbol{\theta}^*)$$

## Exemple : Régression linéaire polynomiale

Régression linéaire en 1D :

- Entrée :  $x \in \mathbb{R}$    Sortie :  $y \in \mathbb{R}$
- Données d'entraînement :
$$\mathcal{D}_{\text{train}} = \{(X_{\text{train},1}, Y_{\text{train},1}), \dots, (X_{\text{train},N}, Y_{\text{train},N})\} \\ = \{(x_1, y_1), \dots, (x_N, y_N)\}$$
- Objectif : Apprendre  $f$  capable de prédire  $s(\hat{y})$  pour une entrée  $x$  :  $s = f(x)$



## Exemple : Régression linéaire polynomiale

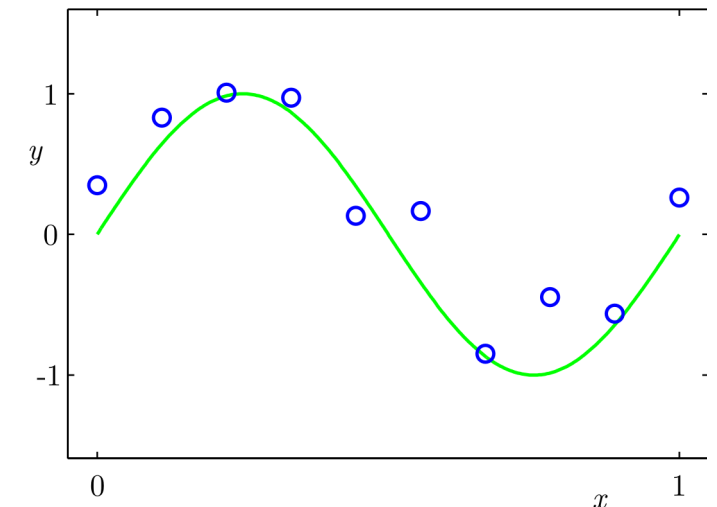
Régression linéaire en 1D :

- Entrée :  $x \in \mathbb{R}$    Sortie :  $y \in \mathbb{R}$

- Données d'entraînement :

$$\begin{aligned} D_{\text{train}} &= \{(X_{\text{train},1}, Y_{\text{train},1}), \dots, (X_{\text{train},N}, Y_{\text{train},N})\} \\ &= \{(x_1, y_1), \dots, (x_N, y_N)\} \end{aligned}$$

- Objectif : Apprendre  $f$  capable de prédire  $s(\hat{y})$  pour une entrée  $x$  :  $s = f(x)$



**Régression linéaire polynomiale** : On considère que des bonnes prédictions suivent une forme polynomiale. Le **modèle**  $f$  peut être défini comme :

$$f(x; \boldsymbol{\theta}) = \theta_0 + \theta_1 x + \theta_2 x^2 + \dots + \theta_D x^D = \sum_{d=0}^D \theta_d x^d$$

où  $\boldsymbol{\theta} = [\theta_0, \dots, \theta_D]^T \in \mathbb{R}^{D+1}$  sont les **paramètres** du modèle.

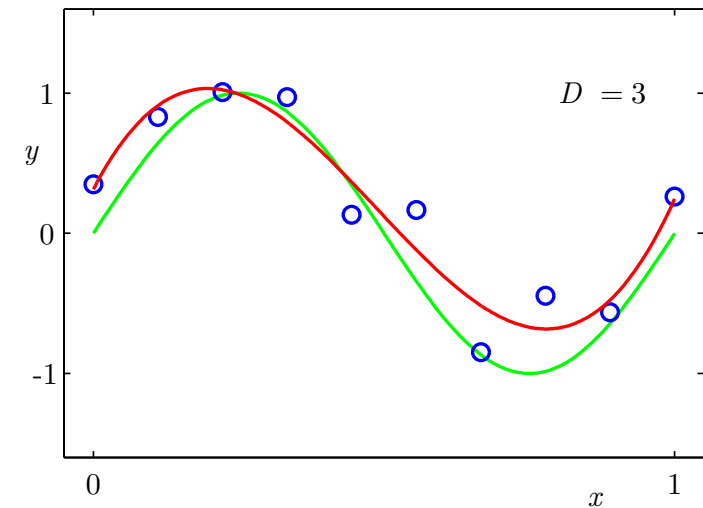
## Choix du coût $l$

**Comment trouver un “bon”  $\theta$  ?**

→ Trouver  $\theta^*$  qui minimise la différence entre les paires  $s_i = f(x_i; \theta^*)$  et  $y_i$  dans  $D_{\text{train}}$

**Fonction de coût :** erreur quadratique

$$\begin{aligned} l(y_i, s_i) &= (y_i - s_i)^2 \\ &= (y_i - f(x_i; \theta))^2 \end{aligned}$$



**Optimisation :** Fonction **convexe**, donc un seul minimum global et calculable<sup>1</sup>

$$\theta^* = \underset{\theta}{\operatorname{argmin}} \sum_{i=1}^N l(y_i, s_i) = \underset{\theta}{\operatorname{argmin}} \sum_{i=1}^N (y_i - f(x_i; \theta))^2$$

**Inférence :**

$$s_{\text{test}} = f(x_{\text{test}}; \theta^*) = \theta_0^* + \theta_1^* x_{\text{test}} + \dots + \theta_D^* x_{\text{test}}^D = \sum_{d=0}^D \theta_d^* x_{\text{test}}^d$$

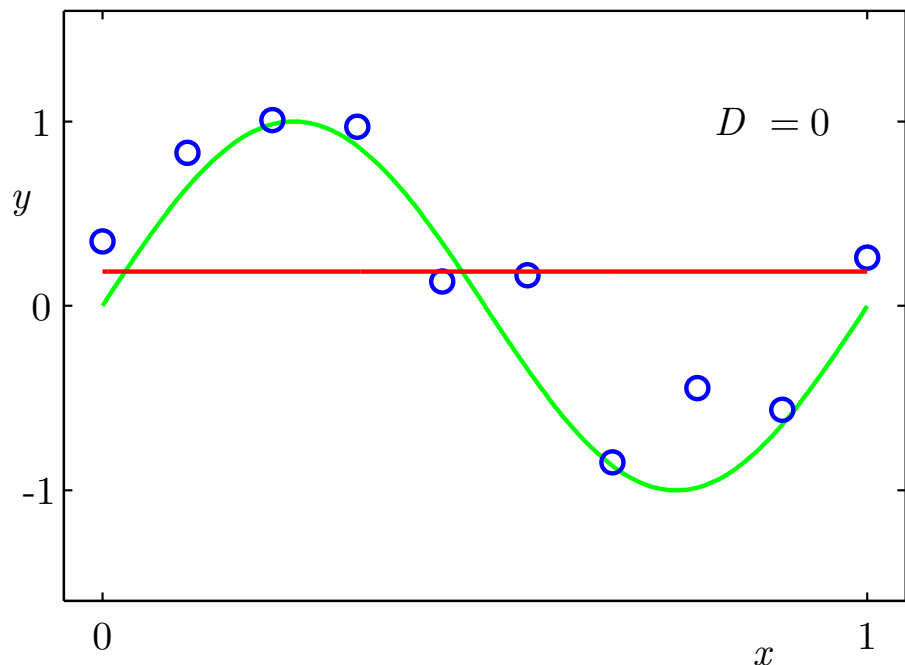
1. Pour les détails de la résolution :

<https://eli.thegreenplace.net/2014/derivation-of-the-normal-equation-for-linear-regression>

## Choix de la dimension $D$

Comment trouver un “bon”  $D$  ?

$$f(x; \theta) = \sum_{d=0}^D \theta_d x^d$$



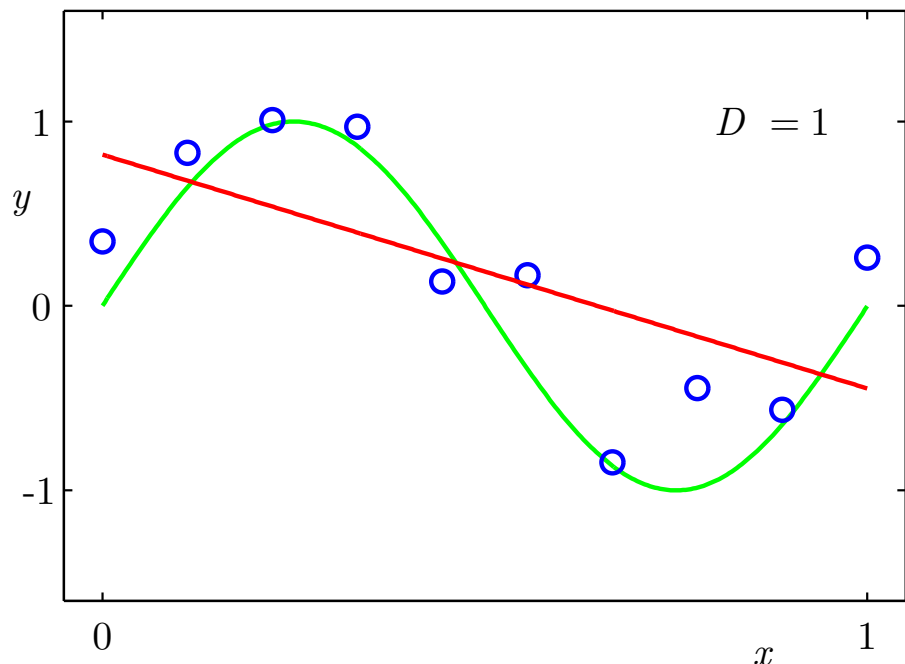
Trop faible : grande erreur sur les données d’entraînement, représentation trop simple  
→ **Sous-apprentissage (*underfitting*)**

$D$  est appelé **hyperparamètre** du modèle

## Choix de la dimension $D$

Comment trouver un “bon”  $D$  ?

$$f(x; \theta) = \sum_{d=0}^D \theta_d x^d$$



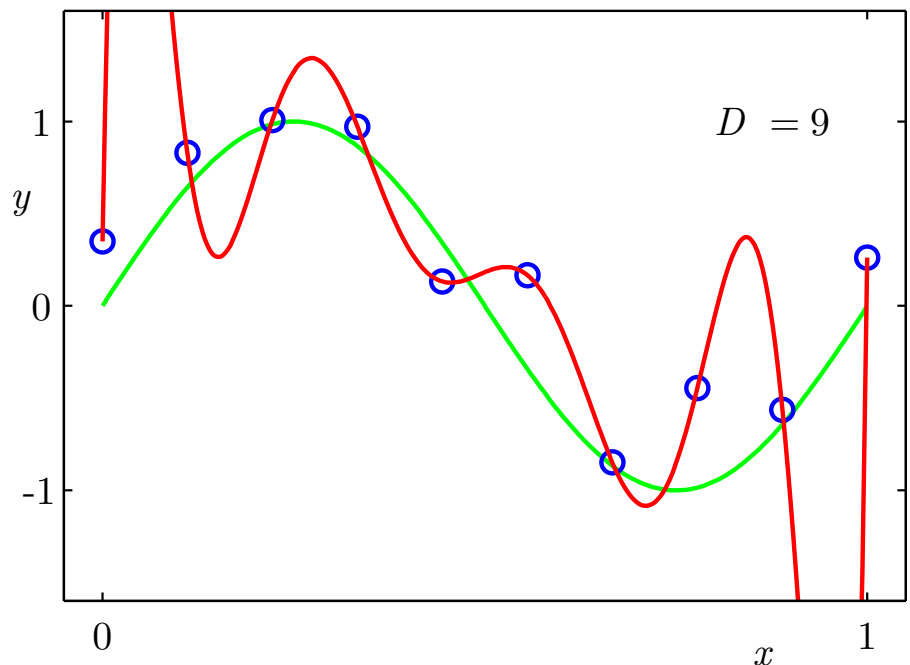
Trop faible : grande erreur sur les données d’entraînement, représentation trop simple  
→ **Sous-apprentissage (*underfitting*)**

$D$  est appelé **hyperparamètre** du modèle

## Choix de la dimension $D$

Comment trouver un “bon”  $D$  ?

$$f(x; \theta) = \sum_{d=0}^D \theta_d x^d$$



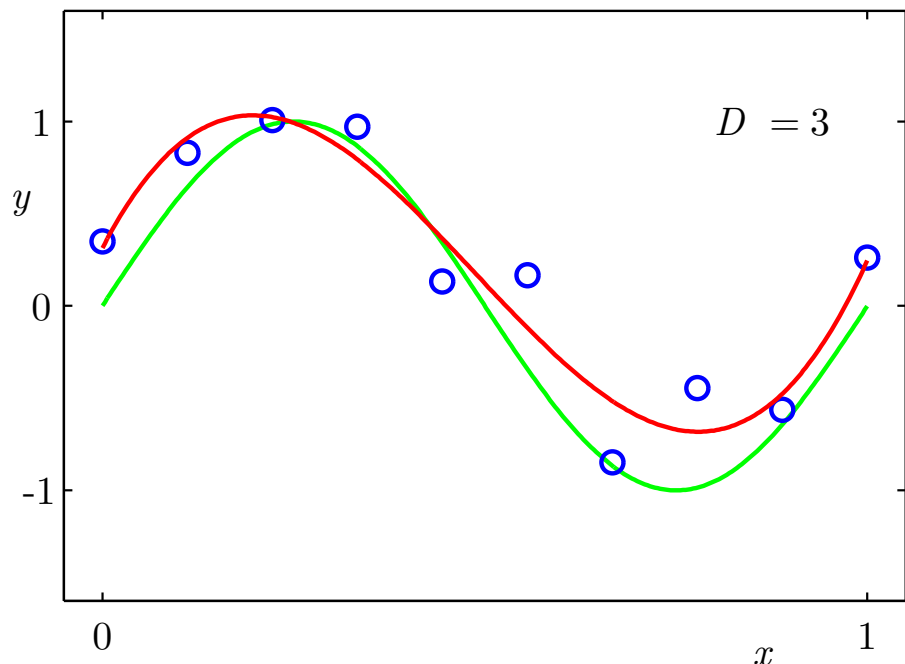
Trop forte : le modèle apprend “par cœur” les données d’entraînement, représentation trop complexe  
→ Sur-apprentissage (*overfitting*)

$D$  est appelé **hyperparamètre** du modèle

## Choix de la dimension $D$

Comment trouver un “bon”  $D$  ?

$$f(x; \theta) = \sum_{d=0}^D \theta_d x^d$$

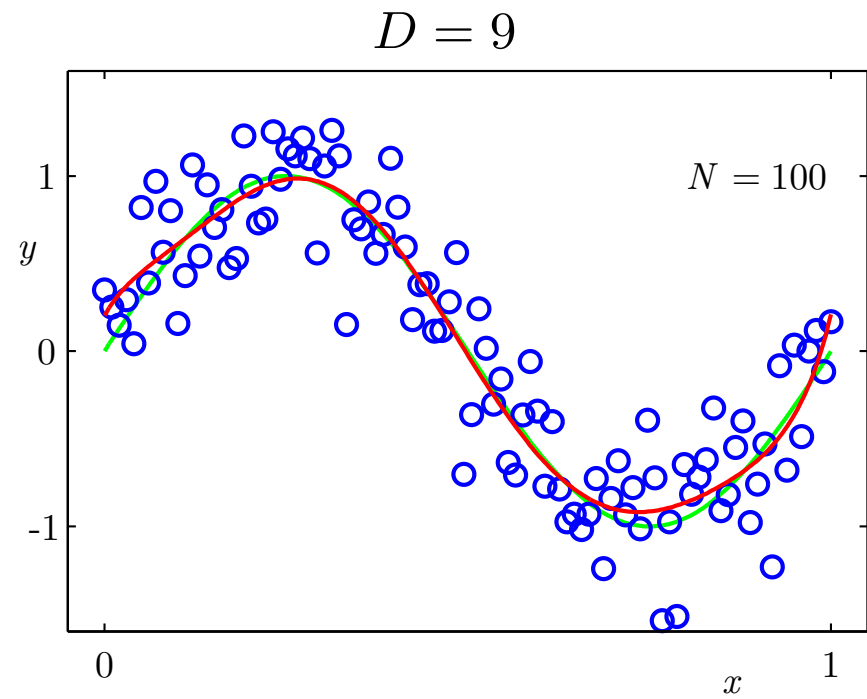
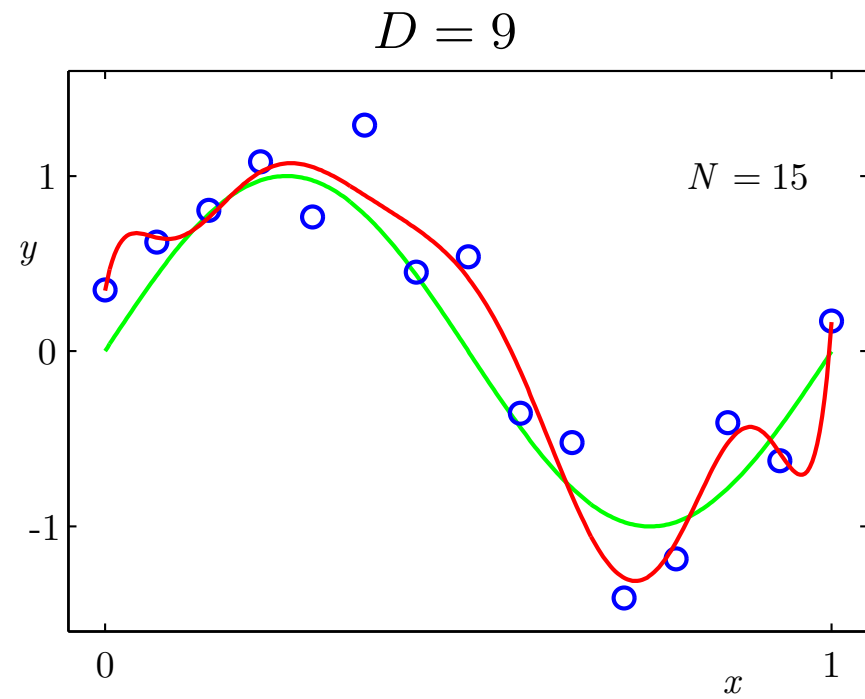


On cherche un bon compromis qui trouve la tendance générale, mais sans le bruit, pour **généraliser** aux nouvelles données de test

$D$  est appelé **hyperparamètre** du modèle

## Choix de la dimension $D$

Plus le **nombre de données d'entraînement augmente**, plus le modèle est susceptible de généraliser.



# Approche paramétrique

Exemple de régression :  $N = 5$ ,  $\mathbf{X} \in \mathbb{R}$  et  $\mathbf{Y} \in \mathbb{R}$

$$\begin{aligned}\mathbf{X}_{\text{train}} &= [-3.1 \quad 1.2 \quad 4.3 \quad 6.2 \quad 9.1] \\ \mathbf{Y}_{\text{train}} &= [23.7 \quad 31.3 \quad 79.9 \quad 101.9 \quad 205.5]\end{aligned}$$

Fonction :  $f(x; \theta) = \theta^T [1 \ x \ \dots \ x^D]$  hyperparamètre :  $D$

Fonction de coût :

$$l(y, s) = (y - s)^2$$

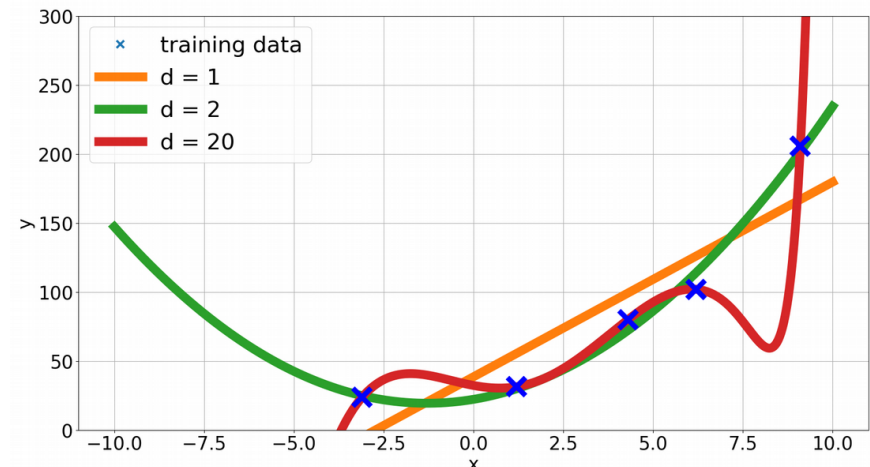
Optimisation :

$$\theta^* = \operatorname{argmin}_{\theta} \sum_{i=1}^N l(\mathbf{Y}_{\text{train},i}, f(\mathbf{X}_{\text{train},i}; \theta))$$

$$= \operatorname{argmin}_{\theta} \sum_{i=1}^N (\mathbf{Y}_{\text{train},i} - f(\mathbf{X}_{\text{train},i}; \theta))^2$$

Inférence :

$$s_{\text{test}} = f(x_{\text{test}}; \theta^*) = \theta_0^* + \theta_1^* x_{\text{test}} + \dots + \theta_D^* x_{\text{test}}^D = \sum_{d=0}^D \theta_d^* x_{\text{test}}^d$$



## Avantages et inconvénients d'une approche paramétrique

### Avantages

- Inférence efficace → pas d'accès à la base de données étiquetées.
- Temps d'inférence constant → ne dépend pas de la taille de la base de données étiquetées.

### Inconvénients

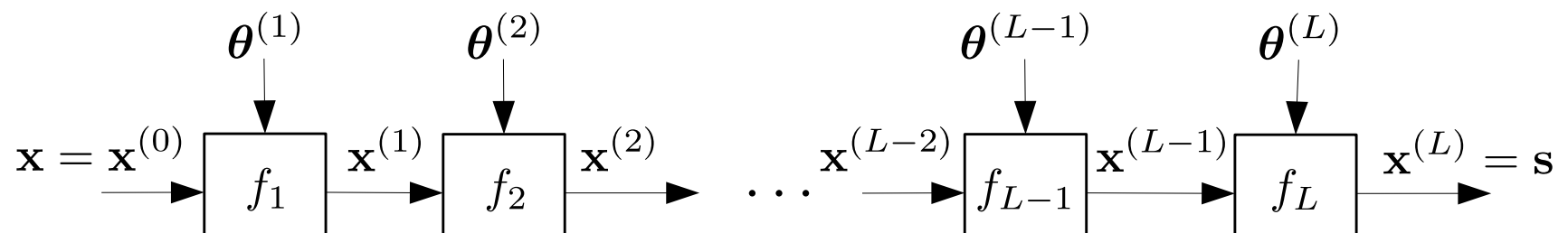
- Choix de la fonction paramétrique et de ses hyperparamètres.
- Étape d'apprentissage → souvent longue et gourmande en calculs.
- Difficile de modifier la base de données étiquetées → nécessite de faire un nouvel apprentissage.

# **Réseaux de neurones**

## Contexte

- Méthode d'apprentissage supervisée "inspirée" du cerveau humain.
- Consiste en l'inter-connexion de plusieurs petites unités appelées neurones.
- Introduit dans les années 50 (perceptron), très populaire dans les années 90, et réapparu en 2010 avec l'apprentissage profond.
- Aussi appelé Perceptron multicouche (**Multi-Layer Perceptron (MLP)**).
- Plus simplement, on verra que :

**Réseau de neurones = Composition de fonctions paramétriques**



$$f(\mathbf{x}; \boldsymbol{\theta}) = f_L \left( f_{L-1} \left( \dots f_2 \left( f_1 \left( \mathbf{x}; \boldsymbol{\theta}^{(1)} \right); \boldsymbol{\theta}^{(2)} \right) \dots; \boldsymbol{\theta}^{(L-1)} \right); \boldsymbol{\theta}^{(L)} \right)$$

## Réseau de neurones = Composition de fonctions paramétriques

- Mathématique

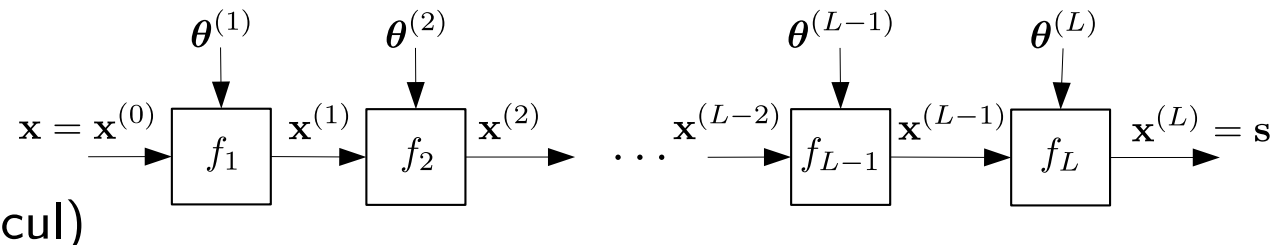
$$s = f(\mathbf{x}; \boldsymbol{\theta}) = f_L(f_{L-1}(\dots f_2(f_1(\mathbf{x}, \boldsymbol{\theta}_1); \boldsymbol{\theta}_2)\dots; \boldsymbol{\theta}_{L-1}); \boldsymbol{\theta}_L)$$

---

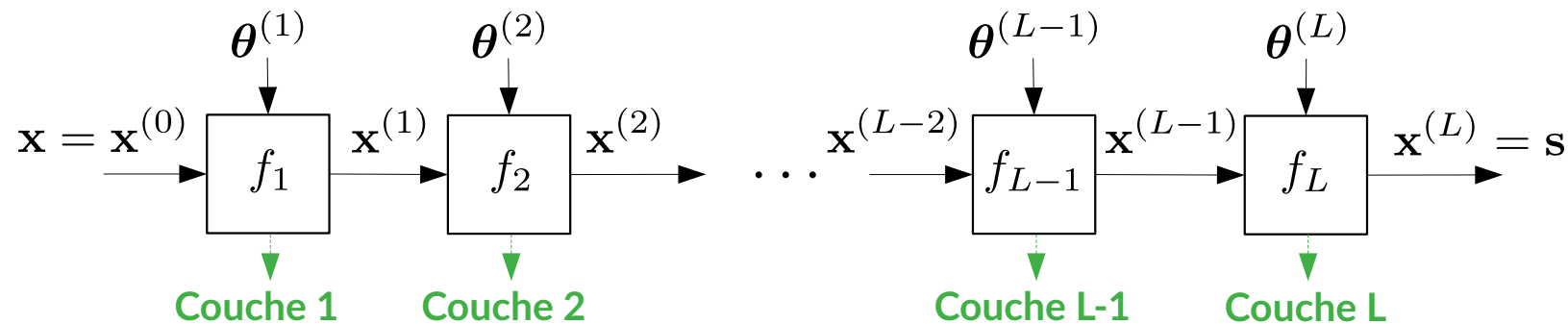
- Informatique  
(Python)

```
def neuralNetwork_forward(x, theta, L):
    x1 = f1(x, theta[0])
    x2 = f2(x1, theta[1])
    ...
    s  = fL(..., theta[L-1])
    return s
```

- Graphique  
(Graphe de calcul)

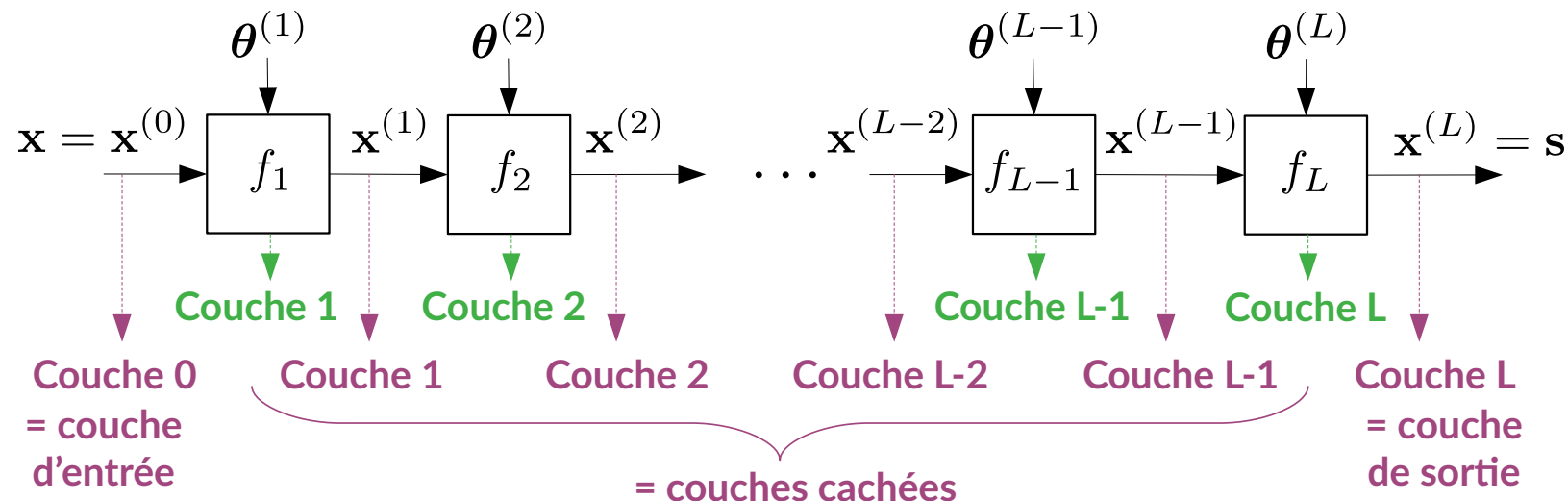


## Réseaux de neurones : Terminologie



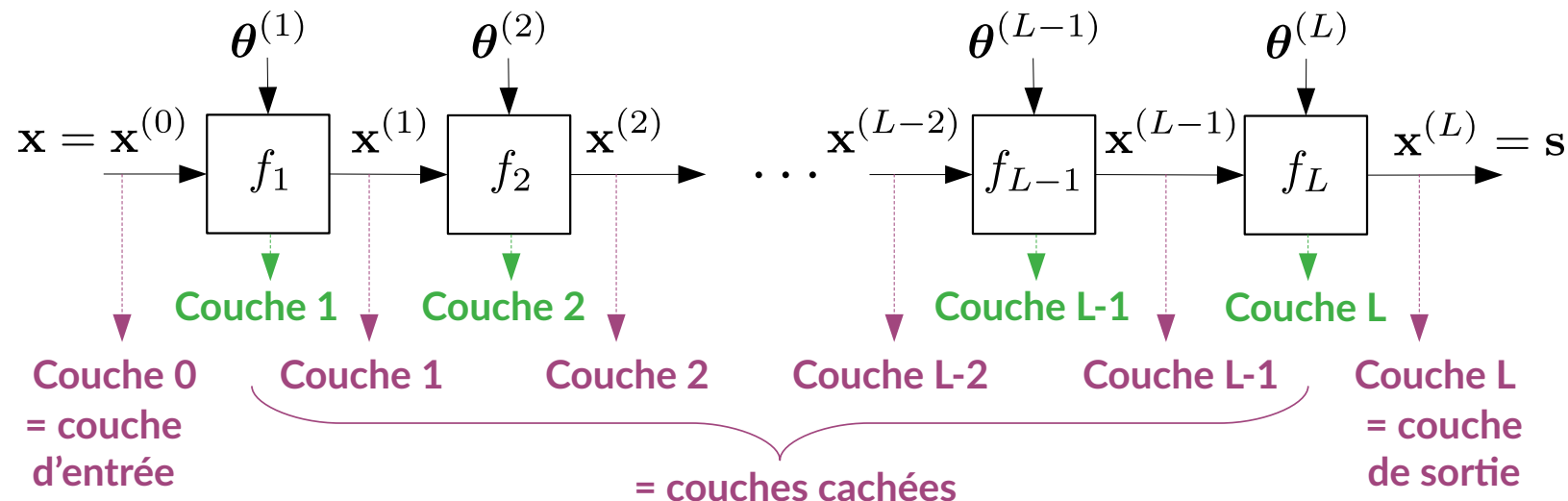
- Couche (“layer”) :
  - Sens 1 : Une fonction paramétrique du réseau

## Réseaux de neurones : Terminologie



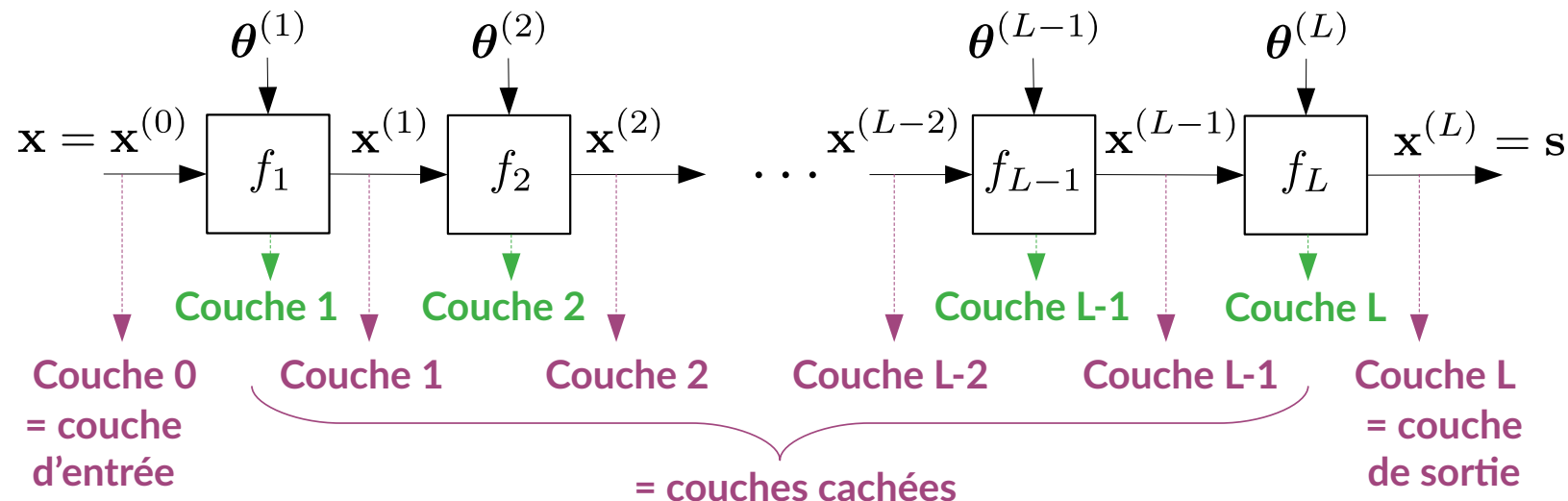
- **Couche ("layer") :**
  - Sens 1 : Une fonction paramétrique du réseau
  - Sens 2 : Un vecteur du réseau

## Réseaux de neurones : Terminologie



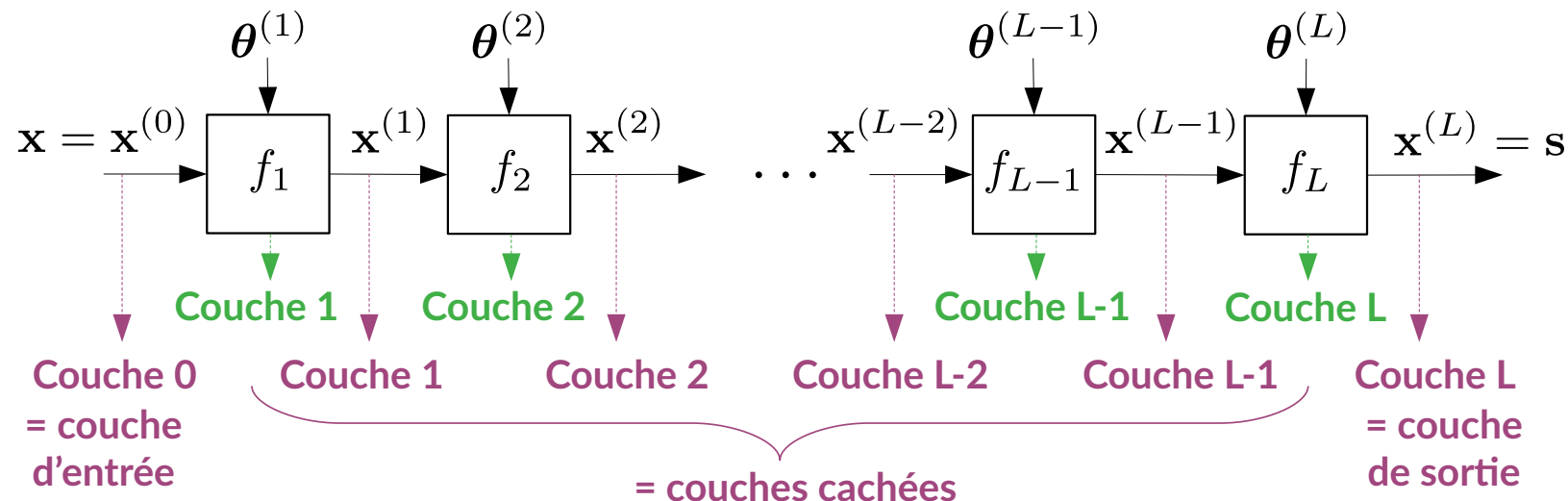
- **Couche ("layer") :**
  - Sens 1 : Une fonction paramétrique du réseau
  - Sens 2 : Un vecteur du réseau
- **Profondeur** du réseau de neurones = nombre de couches

## Réseaux de neurones : Terminologie



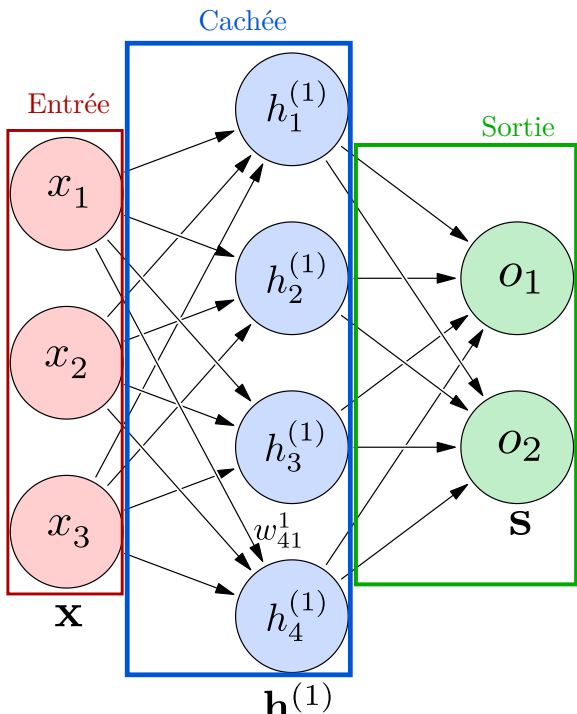
- **Couche ("layer") :**
  - Sens 1 : Une fonction paramétrique du réseau
  - Sens 2 : Un vecteur du réseau
- **Profondeur** du réseau de neurones = nombre de couches
- “Deep Neural Network” = réseau de neurones profond

## Réseaux de neurones : Terminologie



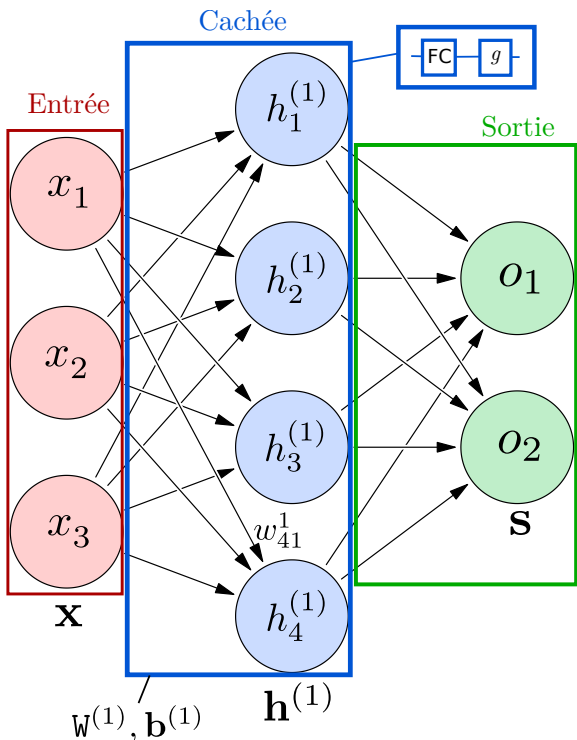
- **Couche ("layer") :**
  - Sens 1 : Une fonction paramétrique du réseau
  - Sens 2 : Un vecteur du réseau
- **Profondeur** du réseau de neurones = nombre de couches
- **“Deep Neural Network”** = réseau de neurones profond
- **Architecture** du réseau de neurones = choix du nombre de couches, du type de chaque couche et de ses hyperparamètres, etc.

# Perceptron multicouche (MLP)



- Inter-connexion de “neurones artificiels” issus de :
  - Transformation affine (connexions pondérées)
  - Fonction d’activation non linéaire
- Chaque niveau dans le graphe est appelé couche :
  - D’entrée  $\mathbf{x} = \{x_1, x_2, \dots, x_N\}$
  - Cachée(s)  $\mathbf{h}^{(i)} = \left\{ h_1^{(i)}, h_2^{(i)}, \dots, h_{N_i}^{(i)} \right\}$
  - De sortie  $\mathbf{s} = \{s_1, s_2, \dots, s_{N_s}\}$
- Chaque neurone dans les couches cachées agit comme un classifieur ou un détecteur de motifs
- Réseau de neurones *feed-forward* (pas de cycle)

# Perceptron multicouche (MLP)



– Transformation affine = **FC** (“Fully Connected”)

$$\text{FC}(\mathbf{x}; \boldsymbol{\theta} = \{\mathbf{W}, \mathbf{b}\}) = \mathbf{W}\mathbf{x} + \mathbf{b}$$

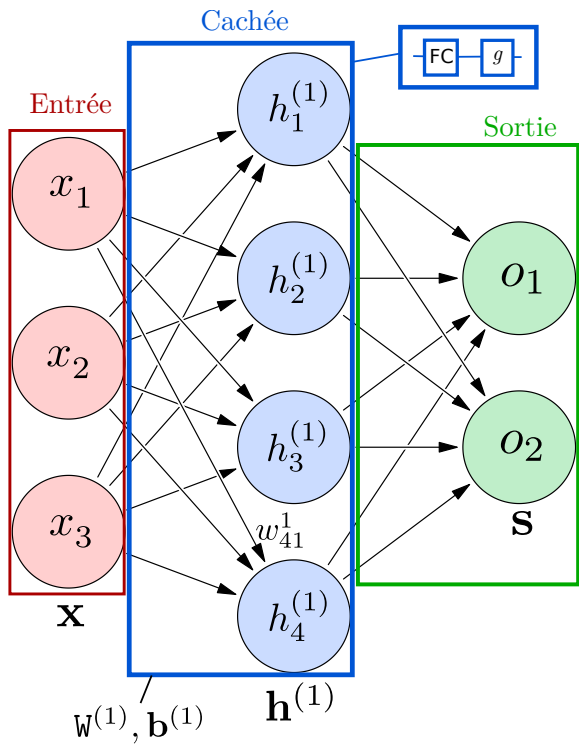
$$\mathbf{h}^{(1)} = (\mathbf{W}^{(1)}\mathbf{x} + \mathbf{b}^{(1)})$$

$$\begin{bmatrix} h_1^{(1)} \\ h_2^{(1)} \\ h_3^{(1)} \\ h_4^{(1)} \end{bmatrix} = \begin{bmatrix} w_{11}^1 & w_{12}^1 & w_{13}^1 \\ w_{21}^1 & w_{22}^1 & w_{23}^1 \\ w_{31}^1 & w_{32}^1 & w_{33}^1 \\ w_{41}^1 & w_{42}^1 & w_{43}^1 \end{bmatrix} \begin{bmatrix} x_1 \\ x_2 \\ x_3 \end{bmatrix} + \begin{bmatrix} b_1^1 \\ b_2^1 \\ b_3^1 \\ b_4^1 \end{bmatrix}$$

$\mathbf{W}^{(k)} = \{w_{ij}^k\}$  les **poids** entre le neurone précédent  $j$  et le suivant  $i$  à la couche  $k$

$\mathbf{b}^{(k)} = \{b_i^k\}$  les **biais** du neurone suivant  $i$  à la couche  $k$

# Perceptron multicouche (MLP)



– Transformation affine = **FC** (“Fully Connected”)

$$\text{FC}(\mathbf{x}; \theta = \{W, b\}) = W\mathbf{x} + \mathbf{b}$$

$$\mathbf{h}^{(1)} = (W^{(1)}\mathbf{x} + \mathbf{b}^{(1)})$$

$$h_1^{(1)} = (w_{11}^1 x_1 + w_{12}^1 x_2 + w_{13}^1 x_3 + b_1^1)$$

$$h_2^{(1)} = (w_{21}^1 x_1 + w_{22}^1 x_2 + w_{23}^1 x_3 + b_2^1)$$

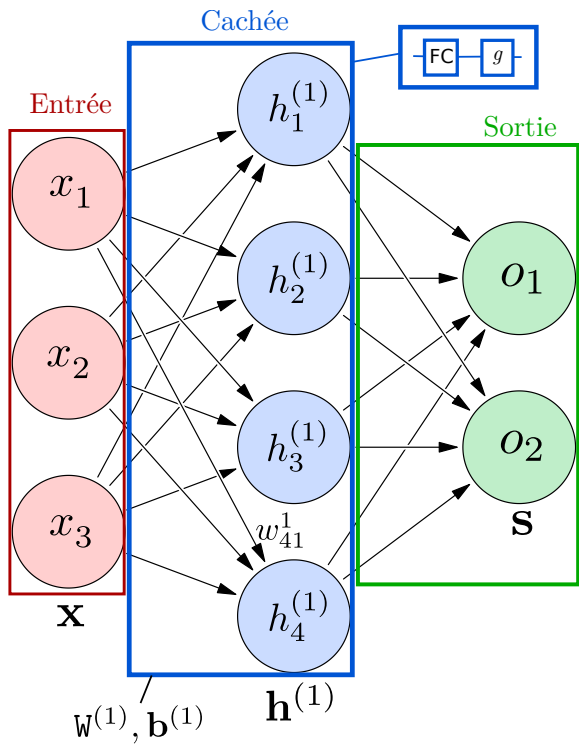
$$h_3^{(1)} = (w_{31}^1 x_1 + w_{32}^1 x_2 + w_{33}^1 x_3 + b_3^1)$$

$$h_4^{(1)} = (w_{41}^1 x_1 + w_{42}^1 x_2 + w_{43}^1 x_3 + b_4^1)$$

$W^{(k)} = \{w_{ij}^k\}$  les **poids** entre le neurone précédent  $j$  et le suivant  $i$  à la couche  $k$

$\mathbf{b}^{(k)} = \{b_i^k\}$  les **biais** du neurone suivant  $i$  à la couche  $k$

# Perceptron multicouche (MLP)



– Transformation affine = **FC** (“Fully Connected”)

$$FC(\mathbf{x}; \theta = \{W, b\}) = W\mathbf{x} + \mathbf{b}$$

– Fonction d'activation :  $g(\mathbf{x})$

$$\mathbf{h}^{(1)} = g_1 \left( W^{(1)} \mathbf{x} + \mathbf{b}^{(1)} \right)$$

$$h_1^{(1)} = g_1 \left( w_{11}^1 x_1 + w_{12}^1 x_2 + w_{13}^1 x_3 + b_1^1 \right)$$

$$h_2^{(1)} = g_1 \left( w_{21}^1 x_1 + w_{22}^1 x_2 + w_{23}^1 x_3 + b_2^1 \right)$$

$$h_3^{(1)} = g_1 \left( w_{31}^1 x_1 + w_{32}^1 x_2 + w_{33}^1 x_3 + b_3^1 \right)$$

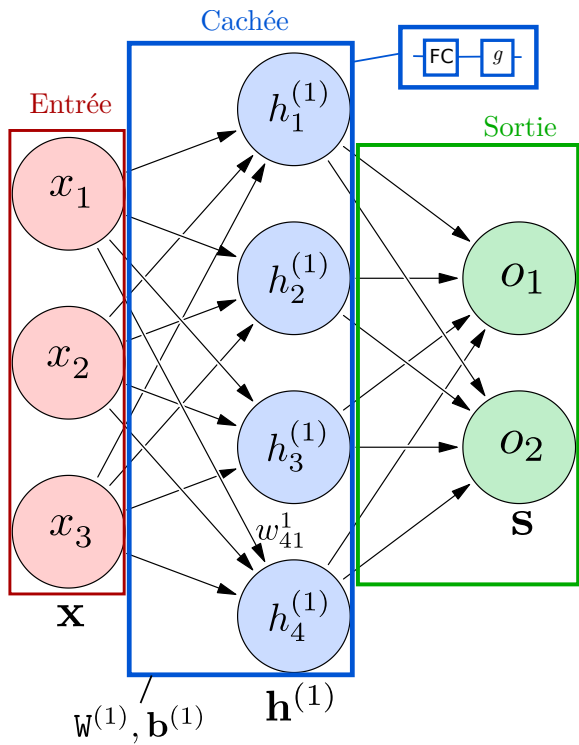
$$h_4^{(1)} = g_1 \left( w_{41}^1 x_1 + w_{42}^1 x_2 + w_{43}^1 x_3 + b_4^1 \right)$$

$W^{(k)} = \{w_{ij}^k\}$  les **poids** entre le neurone précédent  $j$  et le suivant  $i$  à la couche  $k$

$\mathbf{b}^{(k)} = \{b_i^k\}$  les **biais** du neurone suivant  $i$  à la couche  $k$

$g_k$  la **fonction d'activation** appliquée à chaque élément de l'entrée à la couche  $k$

# Perceptron multicouche (MLP)



– Transformation affine = **FC** (“Fully Connected”)

$$\text{FC}(\mathbf{x}; \theta = \{W, b\}) = W\mathbf{x} + \mathbf{b}$$

– Fonction d'activation :  $g(\mathbf{x})$

$$\mathbf{h}^{(1)} = g_1 \left( W^{(1)} \mathbf{x} + \mathbf{b}^{(1)} \right)$$

$$h_1^{(1)} = g_1 \left( w_{11}^1 x_1 + w_{12}^1 x_2 + w_{13}^1 x_3 + b_1^1 \right)$$

$$h_2^{(1)} = g_1 \left( w_{21}^1 x_1 + w_{22}^1 x_2 + w_{23}^1 x_3 + b_2^1 \right)$$

$$h_3^{(1)} = g_1 \left( w_{31}^1 x_1 + w_{32}^1 x_2 + w_{33}^1 x_3 + b_3^1 \right)$$

$$h_4^{(1)} = g_1 \left( w_{41}^1 x_1 + w_{42}^1 x_2 + w_{43}^1 x_3 + b_4^1 \right)$$

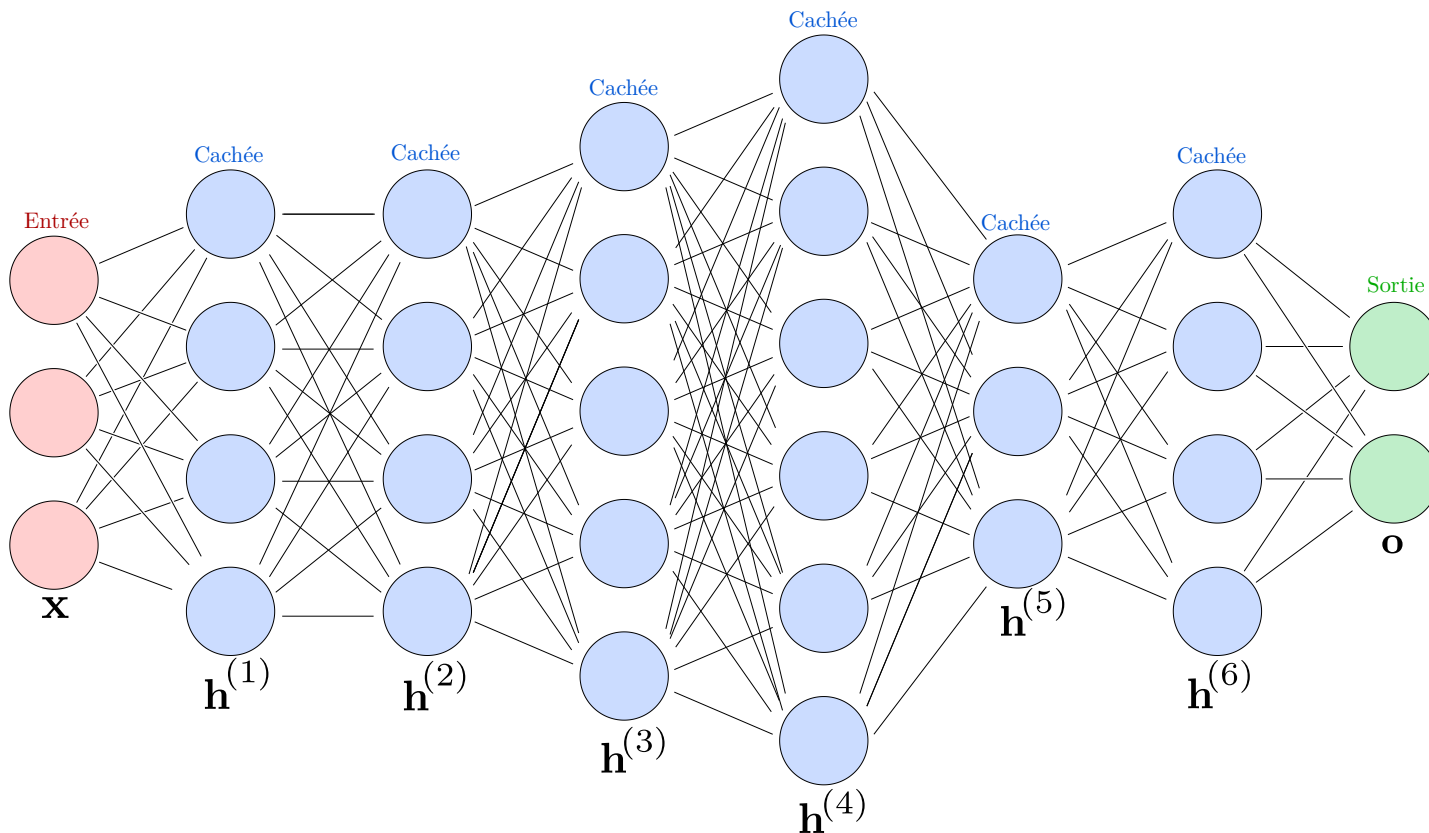
$W^{(k)} = \{w_{ij}^k\}$  les **poids** entre le neurone précédent  $j$  et le suivant  $i$  à la couche  $k$

$\mathbf{b}^{(k)} = \{b_i^k\}$  les **biais** du neurone suivant  $i$  à la couche  $k$

$g_k$  la **fonction d'activation** appliquée à chaque élément de l'entrée à la couche  $k$

Couche de neurones = composition de 2 fonctions paramétriques (ici)

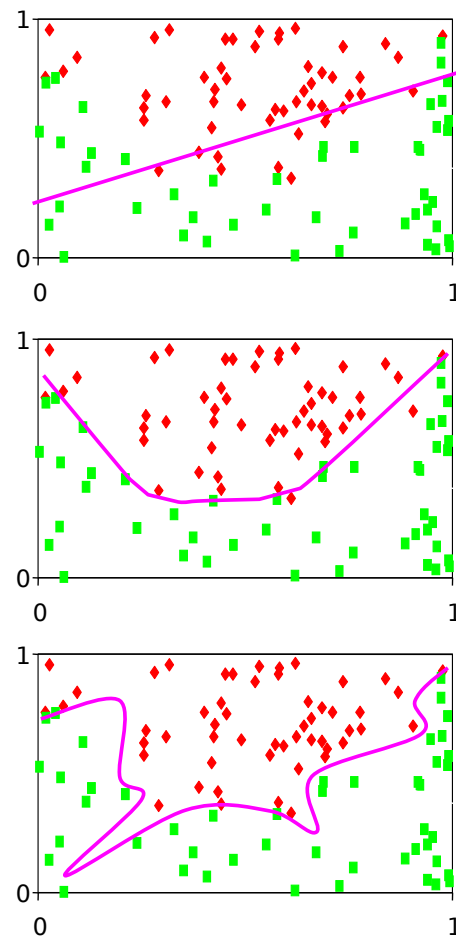
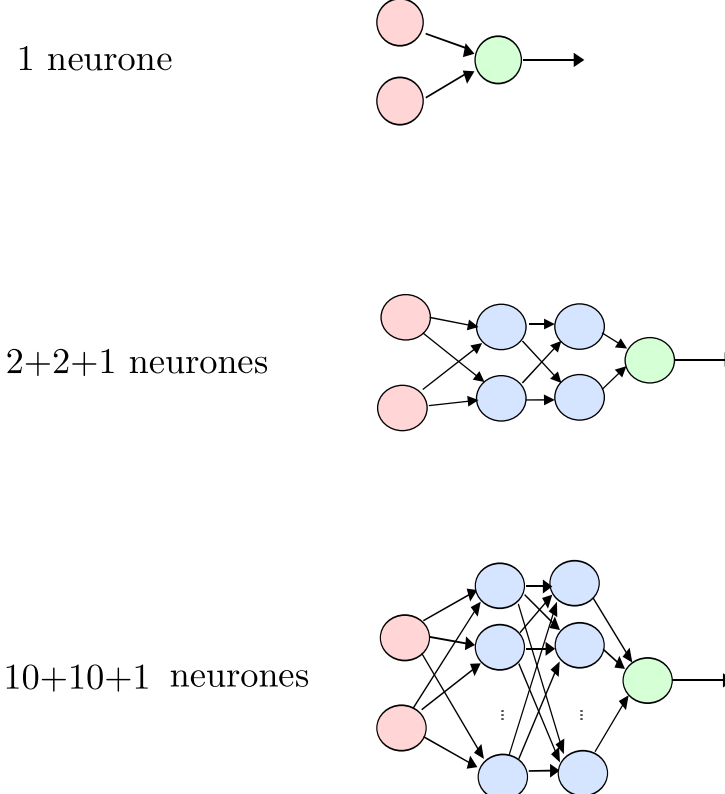
# Architecture d'un réseau de neurones



- Il peut avoir seulement une seule couche cachée (**shallow network**)
- Il peut avoir plusieurs couches cachées (**deep network**)
- Chaque couche (cachée ou de sortie) peut avoir une taille et une fonction d'activation différentes

# Frontière de décision

L'architecture du réseau définit la forme de la limite de décision :



Complexité/capacité du réseau

⇒

**Compromis entre généralisation et sur-apprentissage**

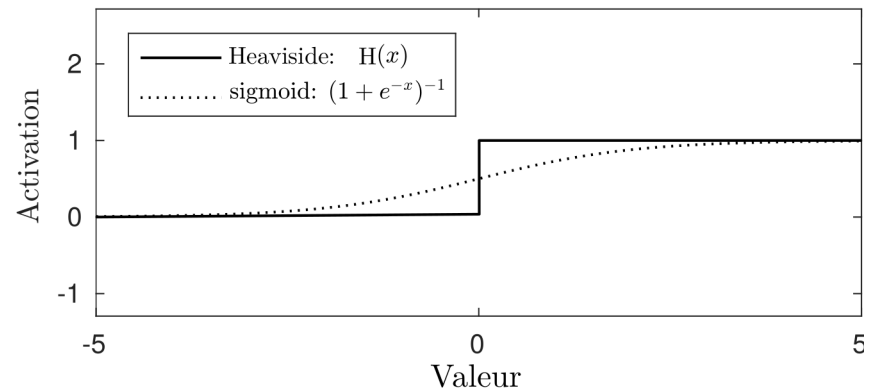
**Fonction de seuil** : par exemple la fonction de Heaviside (échelon)

$$g(a) = H(a) = \begin{cases} 0 & \text{if } a < 0 \\ 1 & \text{otherwise.} \end{cases}$$

- Des discontinuités dans les couches cachées rendent l'optimisation difficile
- Il est préférable d'utiliser des fonctions d'activation **differentiable**

**Sigmoïde** :

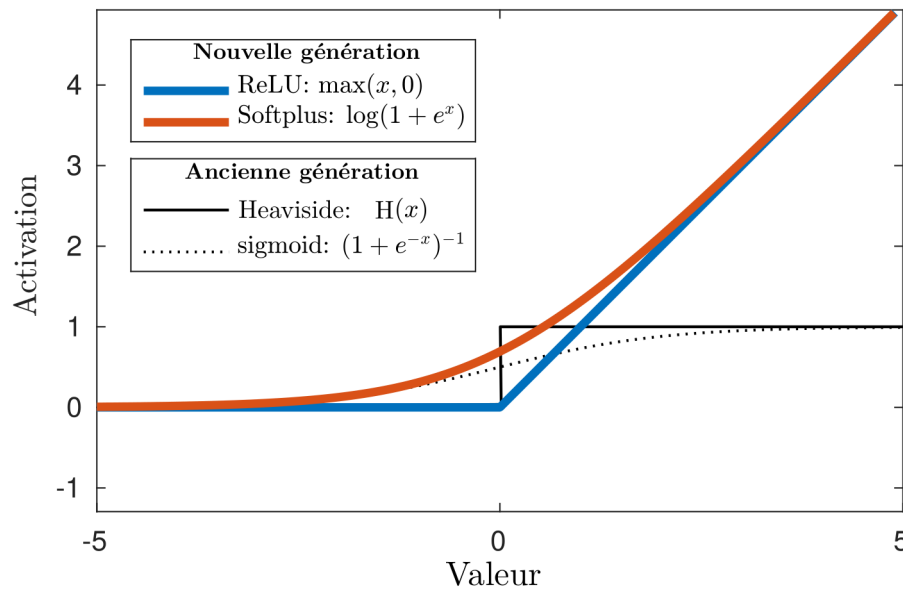
$$g(a) = \frac{1}{1 + e^{-a}} \in [0, 1]$$



- Approximation différentiable de la fonction échelon
- Seuil/comportement linéaire pour les fortes/faibles valeurs

## Fonctions d'activation “modernes” :

$$\underbrace{g(a) = \max(a, 0)}_{\text{ReLU}} \quad \text{ou} \quad \underbrace{g(a) = \log(1 + e^a)}_{\text{Softplus}}$$



- De nombreuses architectures de réseaux de neurones récentes utilisent la fonction d'activation *Rectified Linear Unit* (ReLU) pour les couches cachées.
- Elle entraîne beaucoup plus rapidement, est plus expressive que la fonction sigmoïde et évite le problème de disparition du gradient (*vanishing gradient*).

## Composition de fonctions paramétriques : FC + ReLU

- Mathématique

$$f(\mathbf{x}; \boldsymbol{\theta}) = \text{MLP} \left( \mathbf{x}; \boldsymbol{\theta} = \left\{ \mathbf{w}^{(l)}, \mathbf{b}^{(l)} \right\}_l \right) = \text{FC}(\text{ReLU}(\dots(\text{ReLU}(\text{FC}(\mathbf{x}; \boldsymbol{\theta}_1))\dots); \boldsymbol{\theta}_L)$$

---

- Informatique  
(Python)

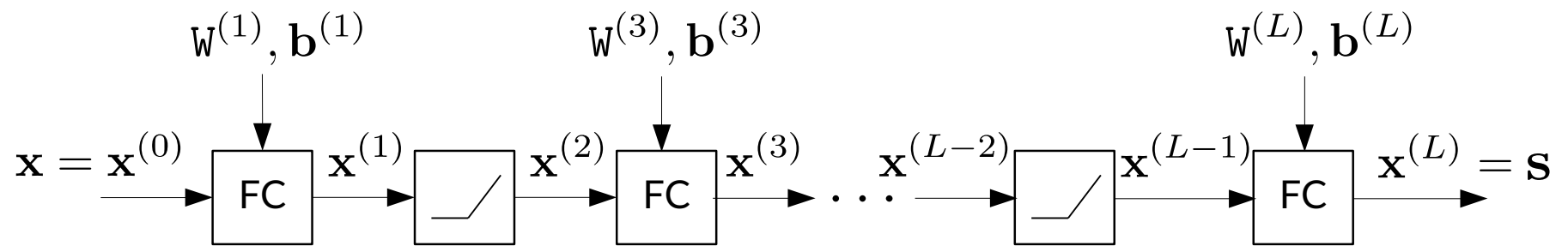
```
def MLP_forward(x, theta, L):
    x1 = FC(x, theta[0])
    x2 = ReLU(x1)
    x3 = FC(x2, theta[1])
    ...
    s = FC(..., theta[L-1])
    return s
```

- Graphique  
(Graphe de calcul)
- 
- The diagram illustrates the architecture of a Multilayer Perceptron (MLP). It starts with an input vector  $\mathbf{x} = \mathbf{x}^{(0)}$ . This is processed by a fully connected layer (FC) with weights  $\mathbf{w}^{(1)}$  and bias  $\mathbf{b}^{(1)}$ , resulting in the hidden state  $\mathbf{x}^{(1)}$ . Following this, there is a ReLU activation function, represented by a box with a diagonal line. The output of this is  $\mathbf{x}^{(2)}$ , which is then passed through another FC layer with weights  $\mathbf{w}^{(3)}$  and bias  $\mathbf{b}^{(3)}$ , producing  $\mathbf{x}^{(3)}$ . This pattern continues for  $L-2$  layers, indicated by three dots between  $\mathbf{x}^{(3)}$  and  $\mathbf{x}^{(L-2)}$ . After each layer, there is a ReLU activation function. The final output of the  $L$ -th layer, after an FC layer with weights  $\mathbf{w}^{(L)}$  and bias  $\mathbf{b}^{(L)}$ , is  $\mathbf{s}$ .

# Perceptron multicouche (MLP)

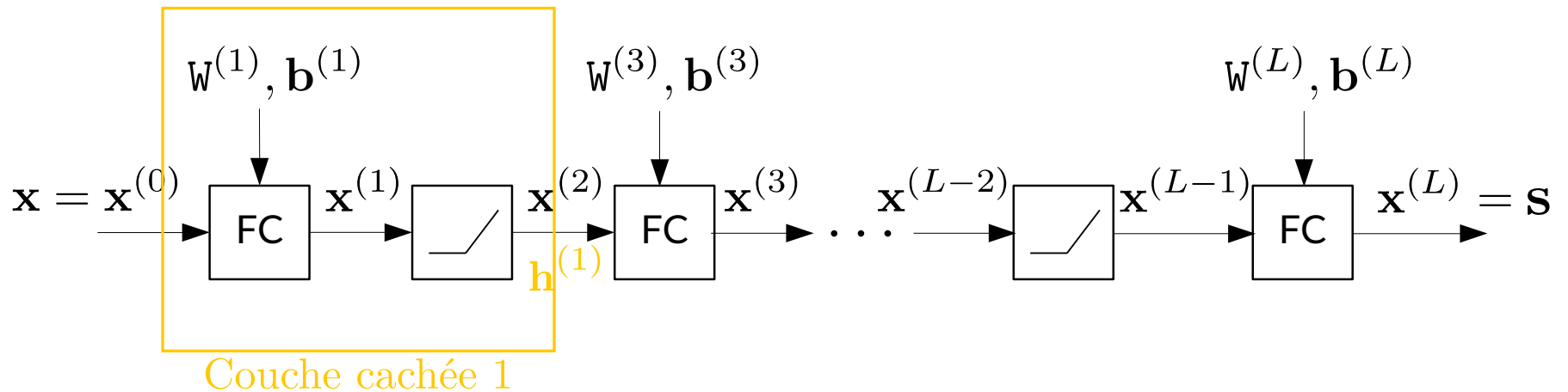
Composition de fonctions paramétriques : FC + ReLU

$$f(\mathbf{x}; \boldsymbol{\theta}) = \text{MLP} \left( \mathbf{x}; \boldsymbol{\theta} = \left\{ \mathbf{W}^{(l)}, \mathbf{b}^{(l)} \right\}_l \right)$$



## Composition de fonctions paramétriques : FC + ReLU

$$f(\mathbf{x}; \boldsymbol{\theta}) = \text{MLP} \left( \mathbf{x}; \boldsymbol{\theta} = \left\{ \mathbf{w}^{(l)}, \mathbf{b}^{(l)} \right\}_l \right)$$



### Attention !

Dans cette représentation décomposant toutes les fonctions paramétriques :

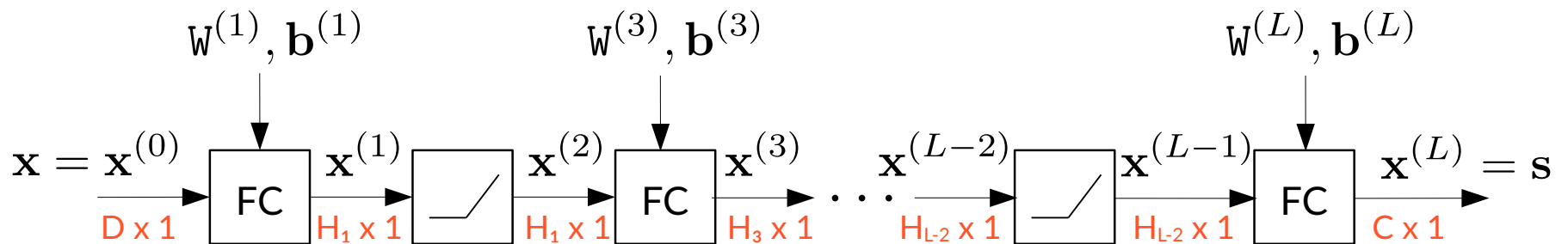
$\mathbf{h}^{(j)} = \mathbf{x}^{(2j)}$  et  $\{\mathbf{w}^{(2j-1)}, \mathbf{b}^{(2j-1)}\}$  paramètres de la couche cachée  $j$

# Perceptron multicouche (MLP)

Exemple de régression :  $N = 5$ ,  $\mathbf{X} \in \mathbb{R}$  et  $\mathbf{Y} \in \mathbb{R}$

$$\mathbf{X}_{\text{train}} = [ -3.1 \quad 1.2 \quad 4.3 \quad 6.2 \quad 9.1 ]$$
$$\mathbf{Y}_{\text{train}} = [ 23.7 \quad 31.3 \quad 79.9 \quad 101.9 \quad 205.5 ]$$

Fonction :  $f(x; \theta) = \text{MLP} (x; \theta = \{w^{(l)}, b^{(l)}\}_l)$



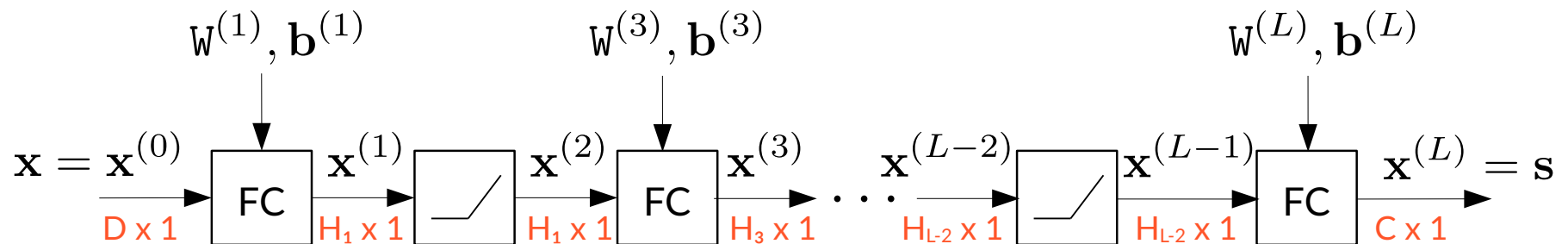
- Paramètres :  $\{w^{(2j-1)}, b^{(2j-1)}\}_{j=1,\dots,L/2}$
- Hyperparamètres :  $L$  (nombre de couches, contrôle la profondeur)  
 $\{H_{2j-1}\}_{j=1,\dots,(L-2)/2}$  (dimension, contrôle la largeur)

# Perceptron multicouche (MLP)

**Exemple de régression :**  $N = 5$ ,  $\mathbf{X} \in \mathbb{R}$  et  $\mathbf{Y} \in \mathbb{R}$

$$\begin{aligned}\mathbf{X}_{\text{train}} &= [-3.1 \quad 1.2 \quad 4.3 \quad 6.2 \quad 9.1] \\ \mathbf{Y}_{\text{train}} &= [23.7 \quad 31.3 \quad 79.9 \quad 101.9 \quad 205.5]\end{aligned}$$

**Fonction :**  $f(x; \theta) = \text{MLP}(x; \theta = \{\mathbf{w}^{(l)}, \mathbf{b}^{(l)}\}_l)$



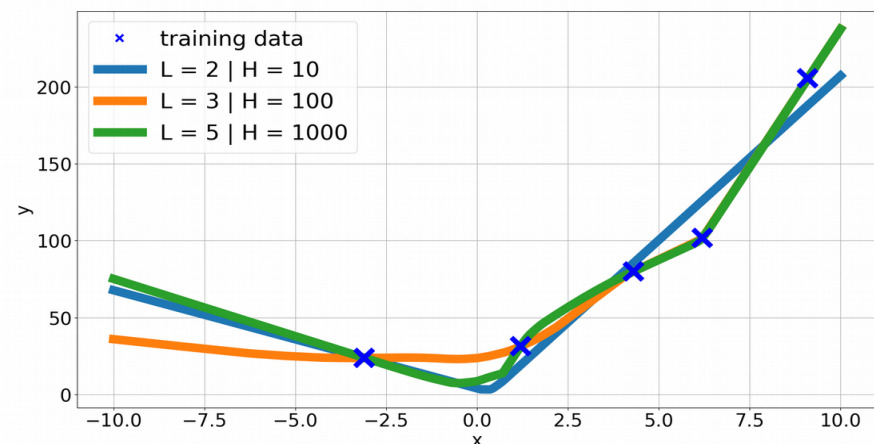
**Fonction de coût :**

$$l(y, s) = (y - s)^2$$

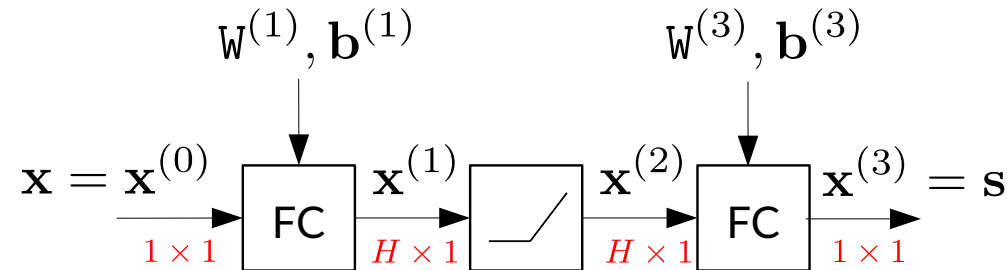
**Optimisation :**

$$\theta^* = \underset{\theta}{\operatorname{argmin}} \sum_{i=1}^N (\mathbf{y}_{\text{train},i} - f(\mathbf{x}_{\text{train},i}; \theta))^2$$

**Inférence :**  $s_{\text{test}} = f(x_{\text{test}}; \theta^*)$



## MLP à une couche cachée en 1D



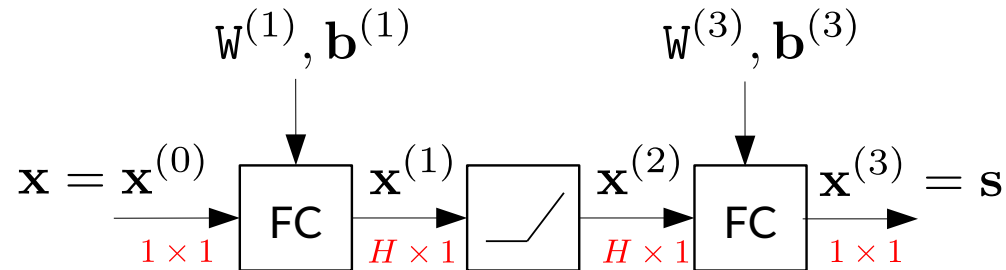
$$f(x) = \mathbf{w}_3^T (\text{ReLU}(\mathbf{w}_1 x + \mathbf{b}_1)) + b_3$$

avec     $\mathbf{w}^{(1)} = \mathbf{w}_1$     Vecteur colonne  $H \times 1$   
        $\mathbf{b}^{(1)} = \mathbf{b}_1$     Vecteur colonne  $H \times 1$   
        $\mathbf{w}^{(3)} = \mathbf{w}_3^T$     Vecteur ligne  $1 \times H$   
        $\mathbf{b}^{(3)} = b_3$     Scalaire  $1 \times 1$

Nombre total de paramètres :  $3 \times H + 1$

# Perceptron multicouche (MLP)

## MLP à une couche cachée en 1D



$$f(x) = \mathbf{w}_3^T (\text{ReLU}(\mathbf{w}_1 x + \mathbf{b}_1)) + b_3 = \sum_{j=1}^H \mathbf{w}_{3,j} \text{ReLU}(\mathbf{w}_{1,j} x + \mathbf{b}_{1,j}) + b_3$$

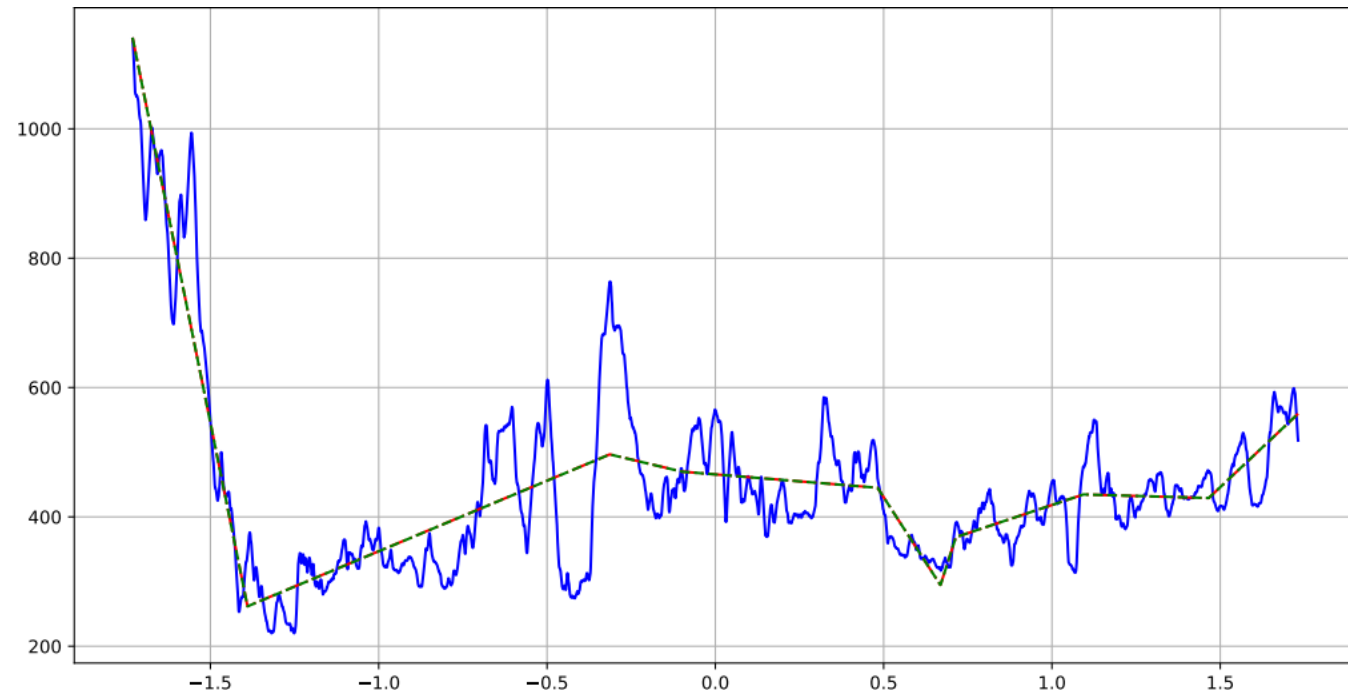
→ somme pondérée de fonctions ReLU

avec	$w^{(1)} = \mathbf{w}_1$	Vecteur colonne $H \times 1$
	$\mathbf{b}^{(1)} = \mathbf{b}_1$	Vecteur colonne $H \times 1$
	$w^{(3)} = \mathbf{w}_3^T$	Vecteur ligne $1 \times H$
	$\mathbf{b}^{(3)} = b_3$	Scalaire $1 \times 1$

Nombre total de paramètres :  $3 \times H + 1$

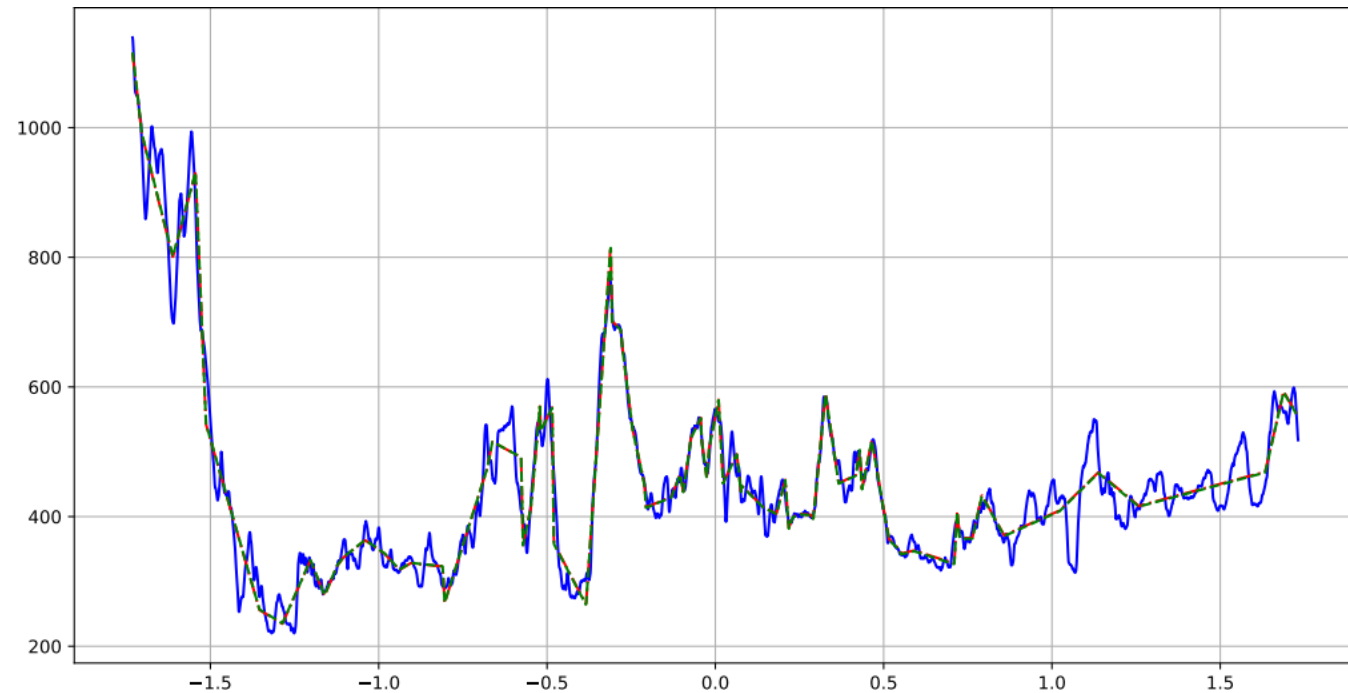
## MLP à une couche cachée en 1D

Optimisation d'un MLP sur un profil de terrain :  $H = 10$



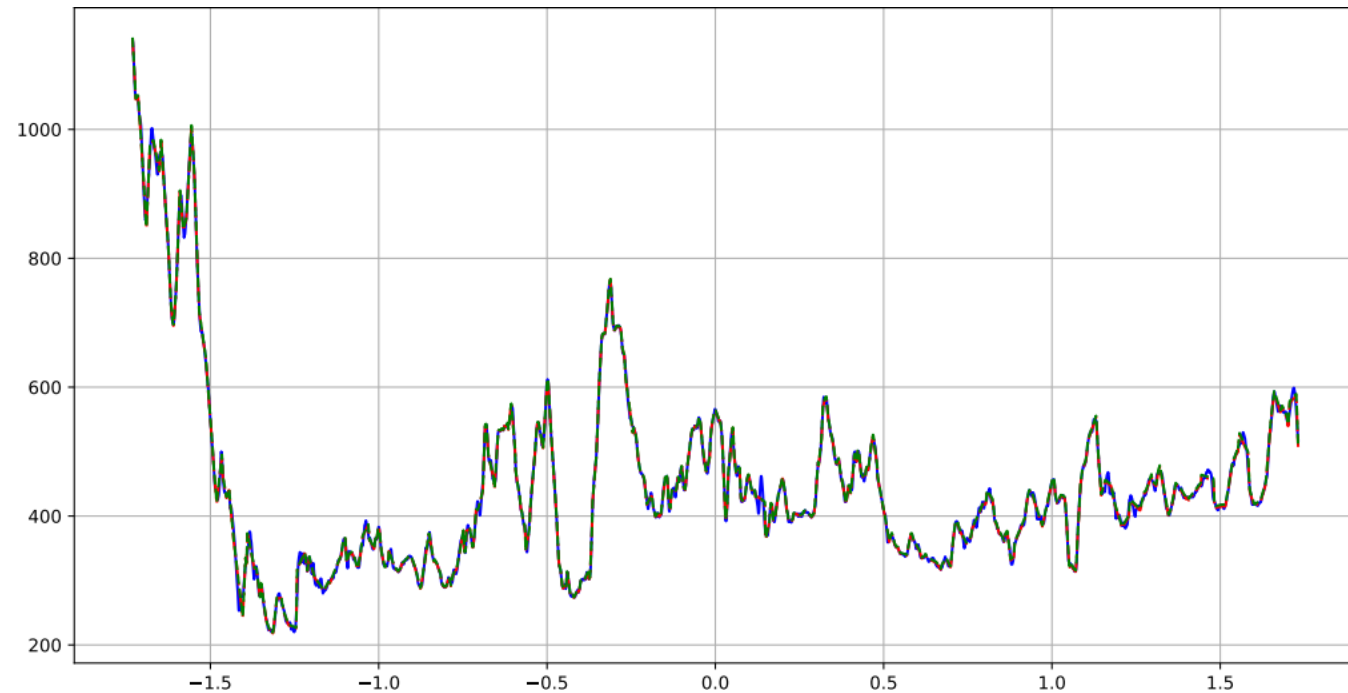
## MLP à une couche cachée en 1D

Optimisation d'un MLP sur un profil de terrain :  $H = 100$



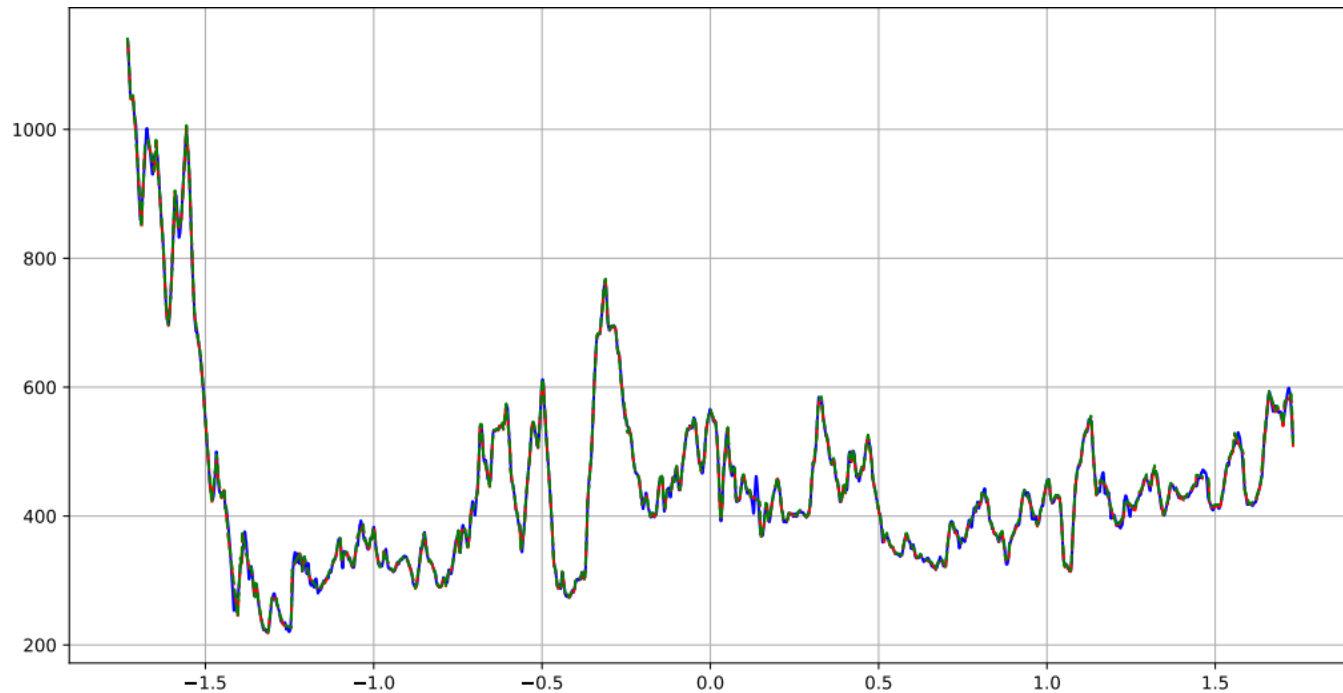
## MLP à une couche cachée en 1D

Optimisation d'un MLP sur un profil de terrain :  $H = 1000$



## MLP à une couche cachée en 1D

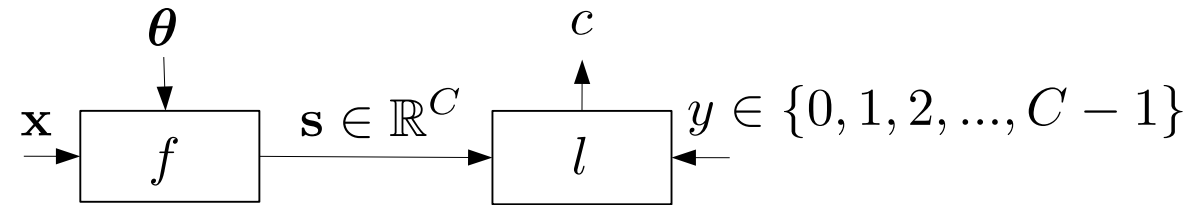
Optimisation d'un MLP sur un profil de terrain :  $H = 1000$



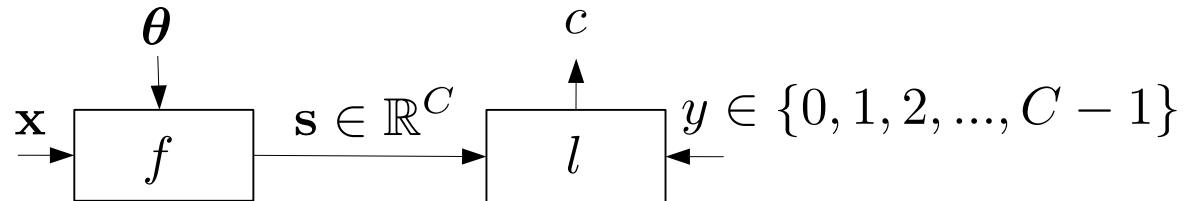
→ Illustration du théorème d'approximation universelle  
(Hornik et al, 1989; Cybenko, 1989)

*“Toute fonction continue peut être approximée par un réseau à une couche cachée (shallow), avec un nombre suffisant de neurones.”*

Réseau de classification ?

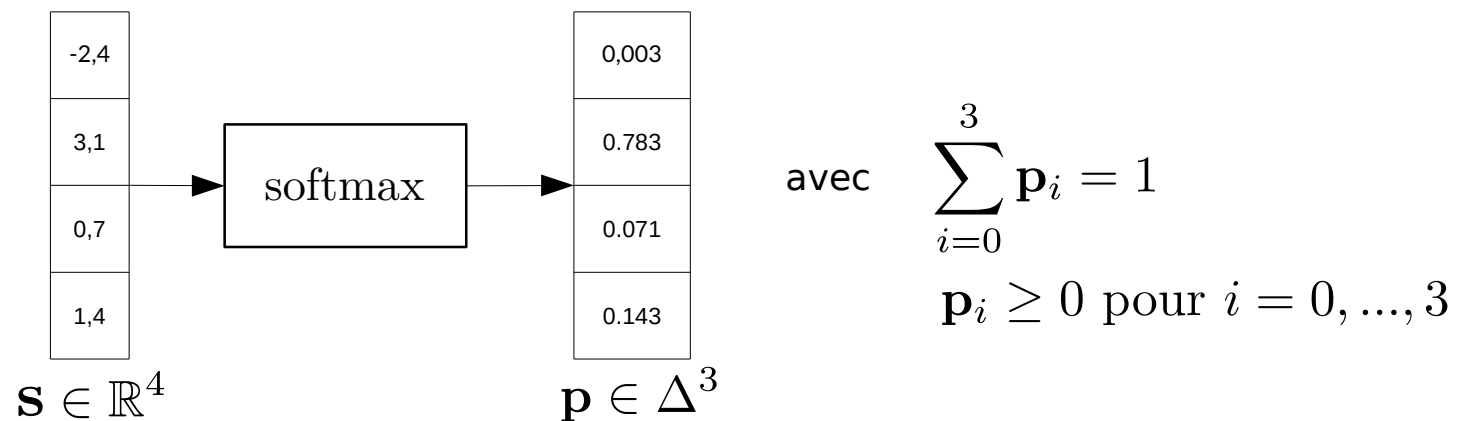


## Réseau de classification ?



- “Cross-entropy” :  $\text{CE}(y, \mathbf{s}) = -\ln(\mathbf{p}_y)$

où  $\mathbf{p}_y = \frac{\exp(\mathbf{s}[y])}{\sum_{c=0}^{C-1} \exp(\mathbf{s}[c])}$  (“softmax”, approx. dérivable de la fonction argmax)



Ex. : Si  $y = 2$ ,  $L = -\ln(0.071) = 2.647$  (prédiction très mauvaise)

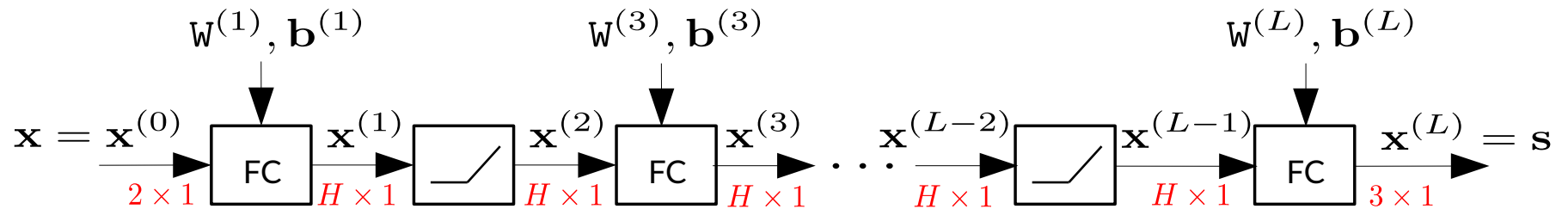
# Perceptron multicouche (MLP)

Exemple de classification :  $N = 5$ ,  $\mathbf{X} \in \mathbb{R}^2$  et  $\mathbf{Y} \in \{0, 1, 2\}$

$$\mathbf{X}_{\text{train}} = [ (1.2, -3.4) \quad (2.3, 2.8) \quad (-0.7, 1.2) \quad (3.2, -0.4) \quad (-1.3, 2.3) ]$$

$$\mathbf{Y}_{\text{train}} = [ 0 \quad 0 \quad 1 \quad 1 \quad 2 ]$$

Fonction :  $f(x; \theta) = \text{MLP} (x; \theta = \{W^{(l)}, b^{(l)}\}_l)$       hyperparamètres :  $H, L$

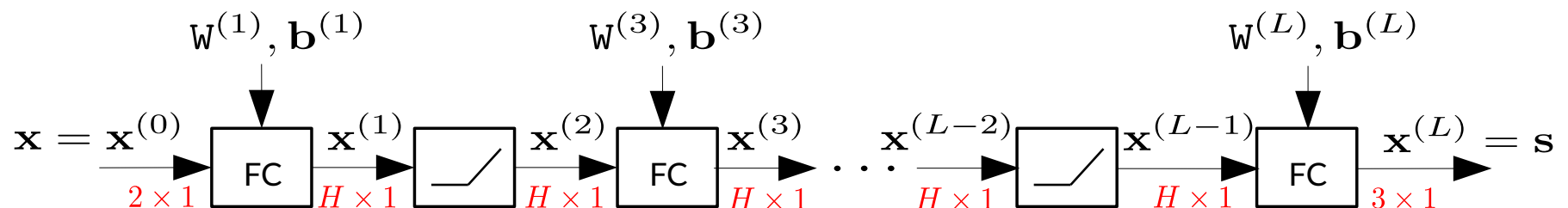


# Perceptron multicouche (MLP)

**Exemple de classification :**  $N = 5$ ,  $\mathbf{X} \in \mathbb{R}^2$  et  $\mathbf{Y} \in \{0, 1, 2\}$

$$\begin{aligned}\mathbf{X}_{\text{train}} &= [ (1.2, -3.4) \quad (2.3, 2.8) \quad (-0.7, 1.2) \quad (3.2, -0.4) \quad (-1.3, 2.3) ] \\ \mathbf{Y}_{\text{train}} &= [ 0 \quad 0 \quad 1 \quad 1 \quad 2 ]\end{aligned}$$

**Fonction :**  $f(x; \theta) = \text{MLP}(x; \theta = \{W^{(l)}, b^{(l)}\}_l)$       hyperparamètres :  $H, L$



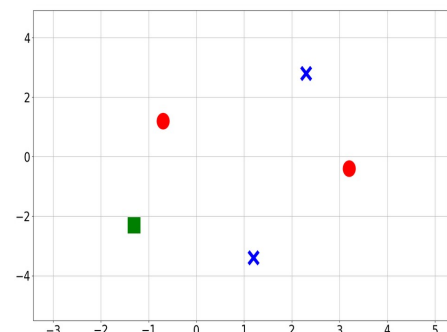
**Fonction de coût :**

$$l(y, \mathbf{s}) = -\ln(\text{softmax}(\mathbf{s})[y])$$

**Optimisation :**

$$\theta^* = \underset{\theta}{\operatorname{argmin}} \sum_{i=1}^N -\ln (\text{softmax} (\text{MLP} (\mathbf{x}_{\text{train}, i}; \theta)) [\mathbf{Y}_{\text{train}, i}])$$

**Inférence :**  $s_{\text{test}} = f(x_{\text{test}}; \theta^*)$       classe prédictive :  $\operatorname{argmax} s_{\text{test}}$

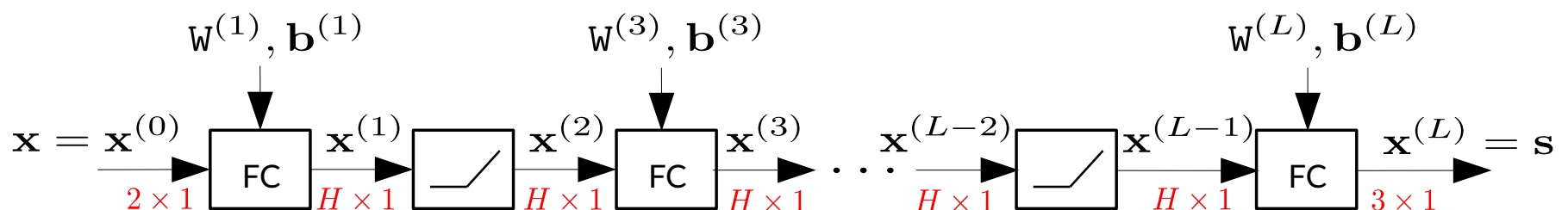


# Perceptron multicouche (MLP)

**Exemple de classification :**  $N = 5$ ,  $\mathbf{X} \in \mathbb{R}^2$  et  $\mathbf{Y} \in \{0, 1, 2\}$

$$\begin{aligned}\mathbf{X}_{\text{train}} &= [ (1.2, -3.4) \quad (2.3, 2.8) \quad (-0.7, 1.2) \quad (3.2, -0.4) \quad (-1.3, 2.3) ] \\ \mathbf{Y}_{\text{train}} &= [ 0 \quad 0 \quad 1 \quad 1 \quad 2 ]\end{aligned}$$

**Fonction :**  $f(x; \theta) = \text{MLP}(x; \theta = \{W^{(l)}, b^{(l)}\}_l)$       hyperparamètres :  $H, L$



**Fonction de coût :**

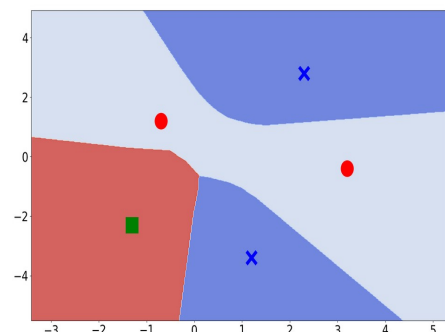
$$L = 3, H = 30$$

$$l(y, \mathbf{s}) = -\ln(\text{softmax}(\mathbf{s})[y])$$

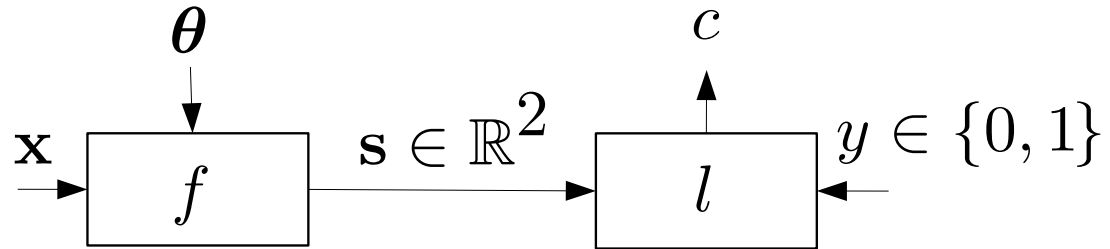
**Optimisation :**

$$\theta^* = \underset{\theta}{\operatorname{argmin}} \sum_{i=1}^N -\ln (\text{softmax} (\text{MLP} (\mathbf{x}_{\text{train}, i}; \theta)) [\mathbf{y}_{\text{train}, i}])$$

**Inférence :**  $s_{\text{test}} = f(x_{\text{test}}; \theta^*)$       classe prédictive :  $\operatorname{argmax} s_{\text{test}}$

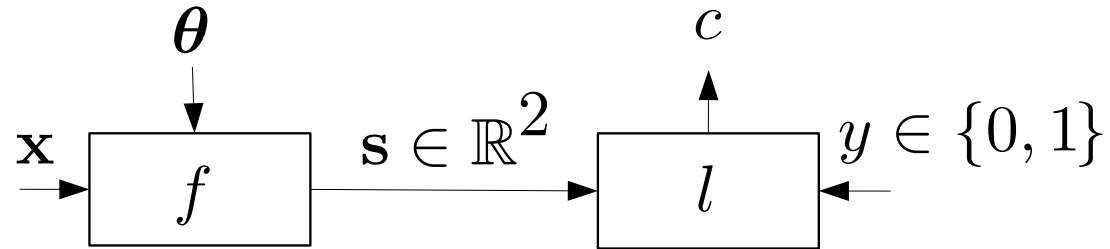


“Cross-entropy” à 2 classes vs “Binary cross-entropy”

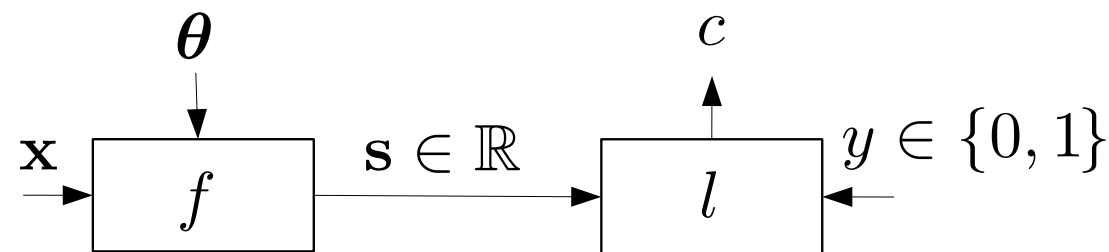


- **“Cross-entropy” :**  $\text{CE}(y, \mathbf{s}) = -\ln(\mathbf{p}_y)$  où  $\mathbf{p}_y = \frac{\exp(\mathbf{s}[y])}{\sum_{c=0}^{C-1} \exp(\mathbf{s}[c])}$
-

“Cross-entropy” à 2 classes vs “Binary cross-entropy”

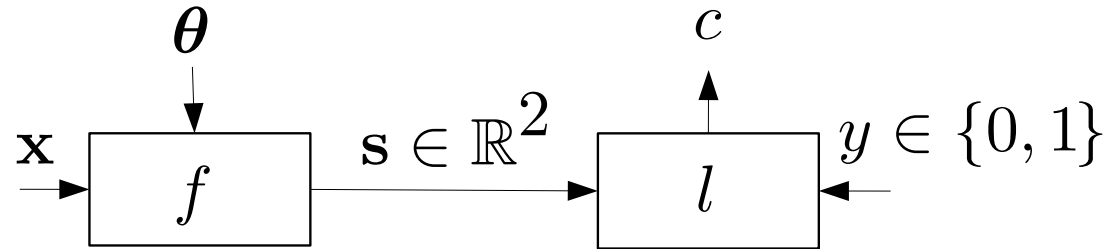


- **“Cross-entropy” :**  $\text{CE}(y, \mathbf{s}) = -\ln(\mathbf{p}_y)$  où  $\mathbf{p}_y = \frac{\exp(\mathbf{s}[y])}{\sum_{c=0}^{C-1} \exp(\mathbf{s}[c])}$
- 

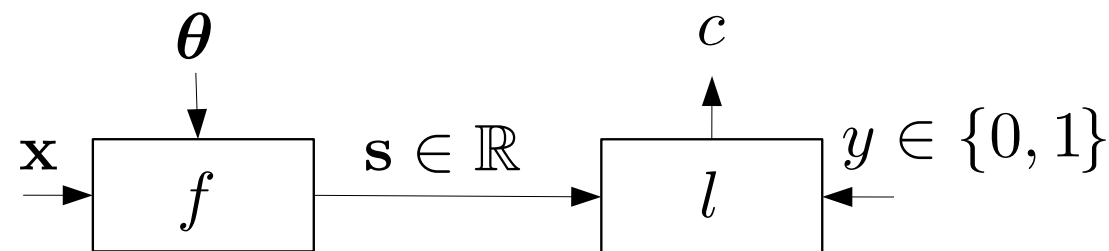


- **“Binary CE” :**  $-y \ln(\mathbf{p}) - (1 - y) \ln(1 - \mathbf{p})$  où  $\mathbf{p} = \frac{1}{1 + \exp(-s)}$  (sigmoïde)

“Cross-entropy” à 2 classes vs “Binary cross-entropy”



- “Cross-entropy” :  $\text{CE}(y, \mathbf{s}) = -\ln(\mathbf{p}_y)$  où  $\mathbf{p}_y = \frac{\exp(\mathbf{s}[y])}{\sum_{c=0}^{C-1} \exp(\mathbf{s}[c])}$
- 



- “Binary CE” :  $-y \ln(\mathbf{p}) - (1 - y) \ln(1 - \mathbf{p})$  où  $\mathbf{p} = \frac{1}{1 + \exp(-s)}$  (sigmoïde)

Équivalent ! Juste une question d’implémentation